

**Česká zemědělská univerzita v Praze**  
**Fakulta agrobiologie, potravinových a přírodních zdrojů**  
**Katedra botaniky a fyziologie rostlin**



**Fakulta agrobiologie,  
potravinových a přírodních zdrojů**

**Vliv zasolení na rychlosť výmeny plynov u vybraných  
druhov listové zeleniny**  
**Bakalářská práce**

**Jan Kodet**

**Zahradnictví**

**doc. Ing. František Hnilička, Ph.D.**

## **Čestné prohlášení**

Prohlašuji, že svou bakalářskou práci "Vliv zasolení na rychlosť výmeny plynov u vybraných druhov listové zeleniny" jsem vypracoval(a) samostatně pod vedením vedoucího bakalářské práce a s použitím odborné literatúry a ďalších informačných zdrojov, ktoré sú citované v práci a uvedené v zozname literatúry na konci práce. Jako autor(ka) uvedené bakalářské práce ďalej prohlašuji, že jsem v súvislosti s jejím vytvorením neporušil autorská práva tretích osôb.

V Praze dne 22.04.2022

---

## **Poděkování**

Rád bych touto cestou poděkoval doc. Ing. Františku Hniličkovi, Ph.D. za odbornou pomoc, konzultaci, rady a čas při psaní této bakalářské práce.

# Vliv zasolení na rychlosť výmeny plynov u vybraných druhov listové zeleniny

## Souhrn

V bakalářské práci byl sledován vliv zasolení na rychlosť výmeny plynov u vybraných druhov listové zeleniny: polníčku, salátu a čtyřboče. Cílem skleníkového pokusu bylo stanovení rychlosťi transpirace, rychlosťi fotosyntézy, rychlosťi stomatálnej vodivosti a obsah pigmentov v listoch v závislosti na rostlinnom druhu, koncentraci NaCl a čase.

V častečne řízených podmínkach skleníku, při teplotě 25 °C ve dne a v noci 20 °C, byly v přirozených světelných podmínkách pěstovány tři druhy listové zeleniny: polníček, salát a čtyřboč. Rostliny byly pěstovány v nádobách 11 × 11 cm, v zahradním substrátu. Schéma pokusu zahrnovalo celkem pět variant: kontrola (0 mM NaCl), 50 mM NaCl, 75 mM NaCl, 100 mM NaCl a 125 mM NaCl. Měření se uskutečnila v následujícím časovém sledu: 0 h, poté 24 h, 72 h, 168 h, 240 h a 336 h. U pokusných rostlin byla sledována stomatálna vodivost, rychlosť transpirace a fotosyntetický aktivních pigmentov.

Ze získaných výsledků vyplývá, že pro rostliny druhu *Valerianella locusta* jsou toxické zvýšené koncentrace NaCl, především 100 a 125 mM NaCl. Solný stres způsobuje změny v obsahu celkových chlorofylů, kdy nejnižší obsah chlorofylů vykazují rostliny polníčku z varianty 100 mM NaCl a 240 h po založení pokusu (4,770 nM/cm<sup>2</sup>) a naopak nejvyšší obsah chlorofylů vykazují rostliny čtyřboče v případě varianty 50 mM NaCl a 24 h od založení pokusu (12,807 nM/cm<sup>2</sup>). Nejvyšší obsah karotenoidů vykazoval čtyřboč v případě varianty 100 mM NaCl a 24 h od založení pokusu (3,067 nM/cm<sup>2</sup>). Na druhé straně nejnižší obsah karotenoidů vykazovaly rostliny polníčku v případě varianty 100 mM NaCl, 240 h po založení pokusu (3,881 nM/cm<sup>2</sup>). Nejvyšší obsah pigmentov měl čtyřboč (14,972 nM/cm<sup>2</sup>). Naopak nejnižší obsah pigmentov kozlíček (10,298 nM/cm<sup>2</sup>). Druhy *Lactuca sativa* a *Tetragonia tetragonoides* lze zařadit do skupiny rostlin, které jsou tolerantní k zasolení. Naopak druh *Valerianella locusta* lze zařadit do skupiny rostlin citlivých k zasolení. Solný stres způsobuje snížení rychlosťi fotosyntézy, kdy nejnižší rychlosť vykazoval polníček v případě varianty 125 mM NaCl (4,045 µM CO<sub>2</sub>/m<sup>2</sup>/s). Na straně druhé nejvyšší hodnoty vykazoval čtyřboč v případě varianty 50 mM NaCl (14,745 µM CO<sub>2</sub>/m<sup>2</sup>/s). V případě rychlosťi transpirace u polníčku byly nejnižší hodnoty zaznamenány u varianty 125 mM NaCl (0,499 mM H<sub>2</sub>O/m<sup>2</sup>/s). U rostlin salátu a čtyřboče byla rychlosť transpirace nejnižší u varianty

75 mM NaCl, rostliny salátu byly zaznamenány hodnoty (0,788mM H<sub>2</sub>O/m<sup>2</sup>/s), u rostlin čtyřboče byly naměřeny hodnoty (1,233mM H<sub>2</sub>O/m<sup>2</sup>/s). Nejnižší hodnoty stomatální vodivosti vykazovay rostliny polníčku u varianty 125 mM NaCl (0,017 M CO<sub>2</sub>/m<sup>2</sup>/s). U rostlin salátu a čtyřboče, jako v případě rychlosti transpirace, byly zaznamenány nejnižší hodnoty u koncentrace 75 mM NaCl, u rostlin salátu byla zaznamenána hodnota (0,027 M CO<sub>2</sub>/m<sup>2</sup>/s) a u rostlin čtyřboče byla naměřena hodnota (0,055 M CO<sub>2</sub>/m<sup>2</sup>/s). Byla potvrzena hypotéza o existenci rozdílů v měřených fyziologických charakteristikách v závislosti na koncentraci soli a délce jejího působení. Dále byly potvrzeny mezidruhové rozdíly v reakci rostlin na salinitu.

**Klíčová slova:** listová zelenina; výměna plynů; pigmenty; salinita

# Influence of salinity stress on the rate of gas exchange in selected leafy vegetable species

## Summary

In the bachelor's thesis, the effect of salinity on the gas exchange rate of selected types of leafy vegetables: cornmeal, lettuce and quadrilateral was studied. The aim of the greenhouse experiment was to determine the rate of transpiration, the rate of photosynthesis, the rate of stomatal conductivity and the content of pigments in the leaves depending on the plant species, NaCl concentration and time.

Under partially controlled greenhouse conditions, at a temperature of 25 ° C during the day and 20 ° C at night, three types of leafy vegetables were grown in natural light conditions: comfrey, lettuce and quadruped. The plants were grown in 11 × 11 cm pots, in garden substrate. The experimental scheme included a total of five variants: control (0 mM NaCl), 50 mM NaCl, 75 mM NaCl, 100 mM NaCl and 125 mM NaCl. The measurements were performed in the following time sequence: 0 h, then 24 h, 72 h, 168 h, 240 h and 336 h.

The obtained results show that increased concentrations of NaCl, especially 100 and 125 mM NaCl, are toxic for plants of the species *Valerianella locusta*. Salt stress causes changes in total chlorophyll content, where the lowest chlorophyll content is shown by the plants of the 100 mM NaCl variant and 240 h after the start of the experiment ( $4.770 \text{ nM/cm}^2$ ) and conversely the highest chlorophyll content is shown by the quadrilateral plants in the case of 50 mM NaCl and 24 h since the start of the experiment ( $12,807 \text{ nM/cm}^2$ ). The highest carotenoid content was quadrilateral for the 100 mM NaCl variant and 24 h from the start of the experiment ( $3.067 \text{ nM/cm}^2$ ). On the other hand, the lowest carotenoid content was shown in the case of the 100 mM NaCl variant, 240 h after the start of the experiment ( $3.881 \text{ nM/cm}^2$ ). The highest content of pigments had a quadrilateral ( $14.972 \text{ nM/cm}^2$ ). In contrast, the lowest content of pigments had kidneys ( $10.298 \text{ nM / cm}^2$ ). The species *Lactuca sativa* and *Tetragonia tetragonoides* can be included in the group of plants that are tolerant to salinity. Conversely, *Valerianella locusta* can be classified as a salt-sensitive plant. Salt stress causes a reduction in the rate of photosynthesis, with the lowest rate showing in the case of the 125 mM NaCl variant ( $4.045 \mu\text{M CO}_2/\text{m}^2/\text{s}$ ). On the other hand, the quadrilateral values showed the highest values in the case of the 50 mM NaCl variant ( $14.745 \mu\text{M CO}_2/\text{m}^2/\text{s}$ ). For lettuce and quadrilateral plants, the transpiration rate was the lowest in the 75 mM NaCl

variant, lettuce plants recorded values ( $0.788 \text{ mM H}_2\text{O/m}^2/\text{s}$ ), and values for quadrilateral plants ( $1.233 \text{ mM H}_2\text{O/m}^2/\text{s}$ ). The lowest values of stomatal conductivity are reported by the cornflower plant in the variant  $125 \text{ mM NaCl}$  ( $0.017 \text{ M CO}_2/\text{m}^2/\text{s}$ ). For lettuce and quadrilateral plants, as in the case of the transpiration rate, the lowest values were recorded at a concentration of  $75 \text{ mM NaCl}$ , for lettuce plants the value was recorded ( $0.027 \text{ M CO}_2/\text{m}^2/\text{s}$ ) and for quadrilateral plants the value was measured ( $0.055 \text{ M CO}_2/\text{m}^2/\text{s}$ ). The hypothesis of the existence of differences in the measured physiological characteristics depending on the salt concentration and duration of action was confirmed. Furthermore, interspecies differences in the response of plants to salinity were confirmed.

**Keywords:** leafy vegetable; gas exchange; pigments; salinity

# Obsah

<b>1</b>	<b>Úvod.....</b>	<b>9</b>
<b>2</b>	<b>Cíl a hypotézy práce.....</b>	<b>10</b>
<b>3</b>	<b>Literární přehled .....</b>	<b>11</b>
<b>3.1</b>	<b>Listová zelenina .....</b>	<b>11</b>
<b>3.2</b>	<b>Stres .....</b>	<b>12</b>
<b>3.3</b>	<b>Salinita .....</b>	<b>16</b>
<b>3.4</b>	<b>Reakce rostlin na zasolení .....</b>	<b>20</b>
<b>4</b>	<b>Metodika.....</b>	<b>23</b>
<b>4.1</b>	<b>Rostlinný materiál.....</b>	<b>23</b>
<b>4.2</b>	<b>Založení pokusu .....</b>	<b>24</b>
<b>4.3</b>	<b>Měření fyziologických charakteristik .....</b>	<b>24</b>
<b>4.3.1</b>	<b>Měření rychlosti výměny plynů a stomatální vodivosti .....</b>	<b>24</b>
<b>4.3.2</b>	<b>Stanovení pigmentů .....</b>	<b>24</b>
<b>5</b>	<b>Výsledky .....</b>	<b>26</b>
<b>5.1</b>	<b>Fotosynteticky aktivní pigmenty .....</b>	<b>27</b>
<b>5.1.1</b>	<b>Karotenoidy.....</b>	<b>27</b>
<b>5.1.2</b>	<b>Celkový obsah chlorofylů .....</b>	<b>30</b>
<b>5.2</b>	<b>Stomatální vodivost.....</b>	<b>33</b>
<b>5.3</b>	<b>Rychlosť fotosyntézy .....</b>	<b>37</b>
<b>5.4</b>	<b>Rychlosť transpirace .....</b>	<b>41</b>
<b>6</b>	<b>Diskuse .....</b>	<b>45</b>
<b>6.1</b>	<b>Fotosynteticky aktivní pigmenty .....</b>	<b>45</b>
<b>6.2</b>	<b>Stomatální vodivost.....</b>	<b>46</b>
<b>6.3</b>	<b>Rychlosť výměny plynů .....</b>	<b>47</b>
<b>7</b>	<b>Závěr .....</b>	<b>48</b>
<b>8</b>	<b>Literatura.....</b>	<b>50</b>

# 1 Úvod

Zelenina je v posledních letech častěji řazena na náš jídelníček, není tomu tak pouze díky vyššímu rozmachu filozofií a životních stylů veganství a vegetariánství, ale přispěla k tomu ve značné míře změna životního stylu většiny lidí, kteří aby se vyhnuli obezitě, konzumují velké množství zeleniny, která má vysoký obsah vitamínů a vody, ale nemá téměř žádnou energetickou hodnotu.

S vyšší poptávkou po zelenině a ostatních zemědělských plodinách, se zvyšuje poptávka po vyšší úrodnosti zemědělských půd, která se, leckdy nesprávně, vylepšuje a přihnojuje syntetickými hnojivy, při jejichž nesprávném používání v půdách zbývají jejich zbytky, které se v půdě rozpadají na kationty a anionty. Čímž dochází k zasolení půdy. Mimo jiné k zasolování půd přispívají i velká města, která v zimním období používají k úpravě povrchu vozovek posypovou sůl, která se často nachází až 10 m od vozovek.

Salinita je ukazatelem slanosti půdy. Zasolení půdy je důsledkem zvýšení obsahu rozpustných solí v půdě, které vedou ke zhoršení fyzikálních a chemických vlastností půdy kvůli vysoké koncentraci půdního roztoku. Příčinou vzniku salinity je převažující výpar nad srážkami (časté v aridních oblastech), mořská sůl, která prosakuje s vodou do půdy, závlahová voda, vysoký obsah solí v mateční hornině, nebo nevhodné hnojení. Salinita u rostlin způsobuje omezení růstu, odumírání pletiv listů a dochází k poškozování kořenového systému. Postupně tedy dochází k oslabování rostlin a jejich postupnému úhynu.

## 2 Cíl a hypotézy práce

Vedle vodního deficitu a vysoké teploty působí na rostliny také zasolení. Zasolení může být způsobeno primárně zvýšeným obsahem solí v půdě, v aridních oblastech zvýšeným výparem, ale také sekundárně antropogenním působením, omezením srážek, použitím nevhodné závlahové vody apod.

Jsou navrženy následující cíle práce:

1. Stanovení vlivu salinity na primární metabolismus rostlin,
2. Vliv salinity na obsah pigmentů v listech.

Hypotézy práce jsou:

1. Existují rozdíly v primárním metabolismu a obsahu pigmentů v listech rostlin po dobu působení salinity,
2. Mezi vybranými druhy zelenin se při působení salinity projeví rozdílná reakce v primárním metabolismu, díky rychlému růstu listové zeleniny.

Listová zelenina byla vybrána kvůli její oblíbenosti na tuzemském trhu. Jako pokusné druhy byly do pokusu zařazeny: *Lactuca sativa*, *Valerianella locusta* a *Tetragonia tetragonoides*, protože patří mezi vyhledávané druhy listové zeleniny u nás.

### 3 Literární přehled

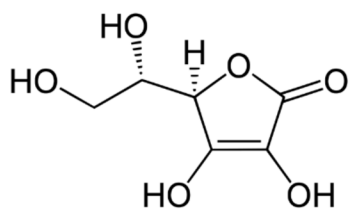
#### 3.1 Listová zelenina

Listová zelenina je zelenina, u které se konzumují stonky, nebo listy. Bývá nejčastěji konzumována syrová v různých salátech. Většina druhů je pěstována jak pro domácí výrobu, tak i ve velkém objemu pro průmyslové zpracování. Má vysoký obsah vody a nízkou energetickou hodnotu. Svůj obsah vody ale rychle ztrácí a dochází tak k rychlému vadnutí.

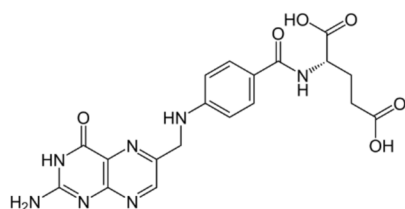
Listy obsahují také vysoké množství kyseliny askorbové, viz obr. 1, kyseliny listové, viz obr. 2 a minerálních látek. Karotenoidy (nejznámější  $\beta$ -karoten), viz obr. 3, jsou obsaženy především, v červených, nebo tmavě zelených listech. Listová zelenina podle Kopce (2010) obsahuje tyto významné nutriční látky: sacharidy (3 g/100 g), bílkoviny (1,4 g/100 g), lipidy (0,2 g/100 g), vlákninu (1,4 g/100 g). Makroprvky: Na, K, Mg, Ca, Cl, P, S; mikroprvky: Fe, Zn.

Listovou zeleninu v osevních plánech řadíme do zeleniny II. trati. Půda by neměla být výrazně kyslá a podmáčená. Většina druhů má slabý kořenový systém, proto je potřeba zajistit dostatečnou zásobu rychle přístupných živin, jelikož má listová zelenina krátkou vegetační dobu ([www.floranazahrade.cz](http://www.floranazahrade.cz))

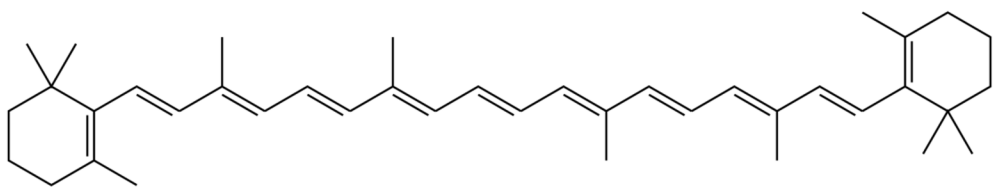
Podle výroční zprávy z roku 2021 se v roce 2020 zvýšila spotřeba veškeré zeleniny v ČR na 93,2 kg zeleniny na osobu a rok. ([www.eagri.cz](http://www.eagri.cz))



Obrázek 1 Vzorec kyseliny askorbové (vitamin C) (zdroj: <https://www.p-lab.cz/kyselina-l-askorbova>)



Obrázek 2 Vzorec kyseliny listové. (Zdroj: <https://www.p-lab.cz/kyselina-listova>)



Obrázek 3 Vzorec  $\beta$ -karotenu (Zdroj: <https://www.p-lab.cz/beta-karoten>)

Mezi listovou zeleninu řadí Gopalakirshnan (2007) například: lociku setou (*Lactuca sativa*), mangold (*Beta vulgaris* var. *cicla*), roketu setou (*Eruca sativa*), špenát setý (*Spinacia oleracea*), chřest lékařský (*Asparagus officinalis*), kozlíček polní (*Valerianella locusta*), čekanku listovou (*Cichorium endivia* var. *crispum*).

### 3.2 Stres

Ideální růstové podmínky jsou definovány jako podmínky, za jakých je rostlina schopna dosáhnout maximálního reprodukčního potenciálu a růstu. Stejně tak také hmotnosti, výšky a počtu vyprodukovaných semen (Taiz et al. 2015).

Kůdela et al. (2013) definují stres jako nepříznivý stav vyvolaný působením stresoru, kterým je vyvolána stresová reakce. Stres způsobuje nedostatek, ale také nadbytek pro rostliny běžného faktoru (vody, kyslíku, světla). Stresory se rozdělují na dva druhy, abiotické a biotické.

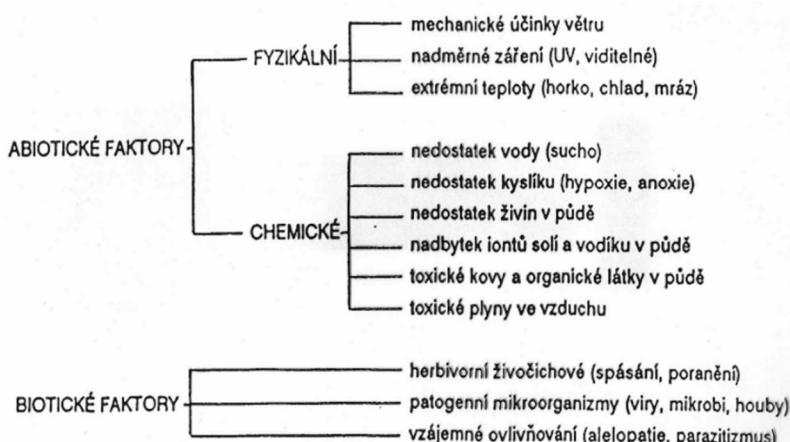
Stres můžeme rozdělit několika způsoby:

- podle původu stresoru na vnitřní a vnější,
- podle délky trvání na krátkodobý a dlouhodobý,
- podle vlivu stresu na rostlinu na eu-stres a dis-stres,
- podle původu stresoru na abiotický a biotický stres (Mosa, 2017).

Rostliny pro svůj růst potřebují energii v podobě slunečního svitu, vodu, uhlík a minerální látky. Rozdělení abiotických a biotických faktorů je uvedeno na obr. 4.

Abiotické stresy vznikají působením půdních, geografických, klimatických, povětrnostních, chemických a fyzikálních vlivů. Mezi hlavní abiotické činitele patří světlo, teplota, vzduch, voda a půda. Tyto faktory jsou rozhodující pro přežití a množení rostlin a jiných organismů, které jsou závislé na rostlinách (Kůdela et al. 2013).

Biotické stresové faktory jsou způsobeny činností živých organismů. Lze sem zařadit, jak vliv patogenů (bakterie, viry a houby), býložravé živočichy a invazivní druhy, ale také konkurenční vztahy mezi rostlinami (parazitismus, aleopatie) ([www.biolib.cz](http://www.biolib.cz)).



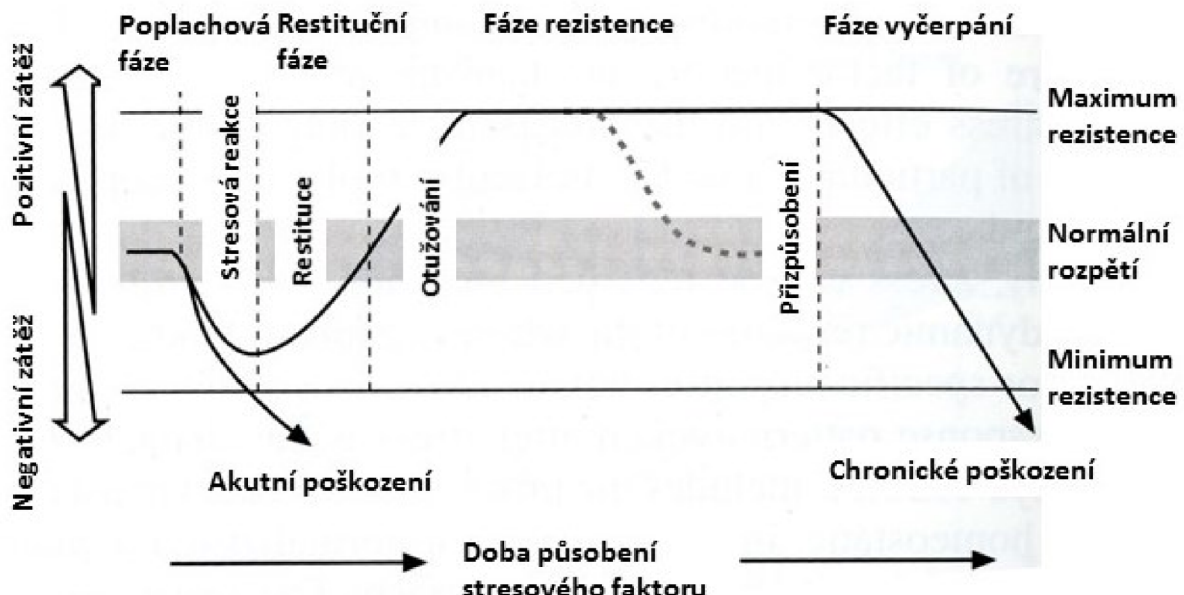
Obrázek 4: Souhrnná tabulka stresorů (PřFUK, Zdeněk Opatrný, 2013)

Stres je obecně nepříznivý stav, kdy na rostlinu působí určitý stresor. Stresem je vyvolána stresová reakce, což je aktivace obranných mechanismů. Stres je běžnou součástí života rostlin, mají proto mechanismy, jakými se se stresem vypořádají. Přisedlost rostlin nedovoluje rostlinám, aby se přesunuly na jiné místo, kde na ně nebude určitý stres působit, proto jsou vybaveny zvláště účinnými obrannými mechanismy a schopností regenerace, kterou umožňují totipotentní buňky (Procházka et al. 1998).

Se značným stresem se například musí potýkat rostliny, které byly pěstovány v systému *in vitro* (ve skle), při přechodu do podmínek *ex vitro*. Nejvyšší ohrožení rostlin vyplývá z nedostatku vody, kdy rostliny byly pěstovány v téměř 100% vzdušné vlhkosti, tudíž nemají zcela vyvinuté zavírání průduchů, mají slabou kutikulu a voskovou vrstvu, ale také zde hrozí velké riziko infekcí patogeny, protože rostliny v systému *in vitro* byly pěstovány ve sterilním prostředí. Aklimatizace na podmínky *ex vitro* musí být tedy hodně pozvolná (Procházka et al. 1998).

Reakci na stres, jak dokládá obr. 5, lze podle Larchera (2003) rozdělit do 4 fází:

- poplachová – rostlina pomocí receptorů zjistila přítomnost stresoru,
- restituční – rostlina aktivuje obranné mechanismy,
- rezistenční – rostlina přežívá za pomoci obranných mechanismů,
- v poslední fázi buď stres pomine a rostlina se vrací ke stejnemu fungování, než na ni zapůsobil stres, nebo nastane úhyn z vyčerpání.



Obrázek 5 Schéma průběhu stresové reakce (Larcher, 2003)

Reakce rostlin na stres závisí na délce a intenzitě stresu, ale také na genetických předpokladech rostliny a jejích adaptačních vlastnostech.

Nejprve, kdy na rostlinu začíná působit stresor, nastává poplachová fáze, která mobilizuje rostlinu k vyšší odolnosti. Poté stres opadne a rostlina se vrací ke stejnemu způsobu života, jako před tím, než na ni působily stresové faktory, nebo stres přetrvává a rostlina se na něj dokáže postupně adaptovat, nebo nastává úhyn (Jenks et al. 2005).

Existují dva způsoby, jakými se rostliny brání vůči stresu. V prvním případě se rostlina brání jakémukoli střetnutí rostliny se stresem. Tento způsob se nazývá „avoidance mechanismus“. V druhém případě se rostlina vůči stresu brání aktivně tento způsob obrany

nazýváme „tolerance mechanismus“, ta omezuje negativní dopady stresorů až po jejich proniknutí plazmatickou membránou a do symplastu (Ashraf et al. 2005).

Avoidance mechanismus je podle Kadioglu et al. (2007) proces, který rostliny používají a jedná se o mechanickou obranu, která je pasivního charakteru – silná kutikula, dostatečné zásoby vody, impregnace buněčných stěn (organickými látkami – ukládáním ligninu, dřevnatění). Mezi tyto mechanismy ale také řadíme například polohu listů v závislosti na denní době a intenzitě slunečního záření, kdy při plném slunci jsou listy natočeny tak, aby došlo k co nejnižšímu popálení. Naopak při stinném dni jsou listy natočeny tak, aby přijímaly co nejvíce slunečního světla. Dále sem patří také svinování listů, které zvyšuje odolnost listů, když je v prostředí nedostatek vody.

V případě mechanismu tolerance se průběh a výsledek stresové reakce na rostlině projeví podle toho, jak dlouho a jak intenzivně na danou rostlinu stres působil, ale také podle toho, jaký má rostlina genotyp, fenotyp, v jakém je stádiu vývoje, jaká je její vitalita, nebo jaké má adaptační schopnosti. Piterková et al. (2005) uvádí, že rostliny reagují na stres v přírodě odlišně v porovnání s řízenými podmínkami, jelikož na rostliny v přírodě působí více stresových faktorů najednou. Daný stresor většinou působí na určitou část rostliny, jejíž reakce na stresovou situaci může vyvolat řadu dalších stresových reakcí.

Z hlediska druhu působení stresu na rostliny dle Lichtentahlera (2006) rozdělujeme na:

- Eu-stres: jedná se o aktivační či stimulační stres. Má pozitivní účinek na vývoj a přežití rostlin. Mírný stres, který pozitivně působí na buněčný metabolismus a stimuluje fyziologickou aktivitu rostlin. Tento typ stresu nezpůsobuje poškození rostlin, i když působí dlouhodobě.
- Dis-stres: stres, který způsobuje poškození. Působí negativně na vývoj a přežití rostlin v daném prostředí. V reálných podmínkách dis-stres nastupuje v případě, kdy stresor překročí určitou prahovou hodnotu, kterou rostiny nejsou schopny kompenzovat svým metabolismem.

Během svého života jsou rostliny vystaveny působení několika různých stresových faktorů, které pak ovlivňují jejich fyziologické procesy, vedou k poškození rostlinných buněk, orgánů a v krajních případech může dojít ke smrti. Velmi často působí na rostlinu více stresorů najednou. Při působení stresoru na část rostliny dochází k lokální stresové reakci,

která může následně vyvolat stres i na jiných rostlinných orgánech, takto dochází k systémové reakci (Kůdela et al. 2013).

### 3.3 Salinita

Zasolení půdy se projevuje vysokými koncentracemi iontů  $\text{Na}^+$ ;  $\text{Cl}^-$ . Vysoké koncentrace těchto iontů se projevují zhoršeným vodním potenciálem a zhoršenými fyzikálními vlastnostmi půdy. Rostliny, které nejsou schopny pracovat s těmito ionty je hromadí ve svých buňkách v takovém množství, při kterém normálně nefungují enzymy (Gloser, 1998).  $\text{NaCl}$  způsobuje zvyšování hodnoty pH, z půdy se vyplavují ionty  $\text{Ca}^{2+}$ ,  $\text{K}^+$ , nebo  $\text{Mg}^{2+}$ , dále pozorujeme rozpad půdní struktury (Suchara, 1993).

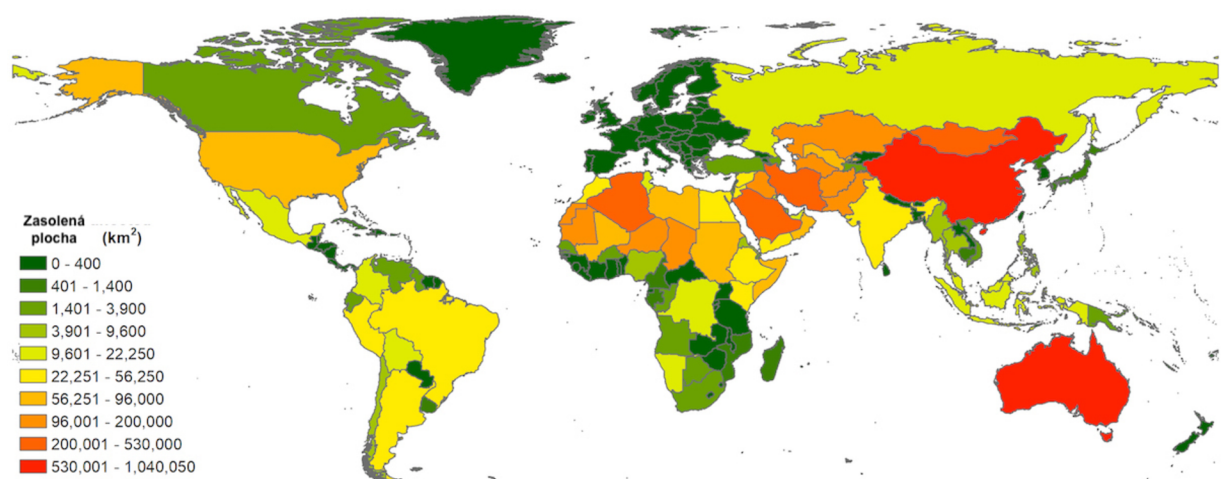
Zasolení vzniká, pokud se půdní roztok nasycený výše uvedenými ionty dostane k povrchu a začne jeho odpařování. Další příčinou je používání průmyslových hnojiv, která se ve většině případů dávkují v nevhodných (vyšších) dávkách. K zasolení dochází také tehdy, pokud k zálivce použijeme vodu, která obsahuje vyšší množství minerálů, které po odpaření zůstávají v půdě ([www.e-agri.cz](http://www.e-agri.cz)).

Primární salinita je pojem, kterým Chari et al. (2012) označují zasolení, které vzniklo přírodními procesy, především fyzikálním, nebo chemickým zvětráváním a transportem z mateřských hornin, geologických ložisek, nebo podzemních vod. Půda může být zasolená také vlivem složek mateřských hornin, jako jsou například uhličitanové minerály a/nebo živce. S tím velmi úzce souvisí geologické události nebo specifické útvary, které mohou zvýšit koncentrace solí ve vodě a tím tedy i v půdním profilu. Chesworth (2008) kontstauje, že tyto faktory ovlivňují půdu v závislosti na hydraulické vodivosti geologických vrstev a charakteristikách půdy, jako jsou póravitost, struktura a textura, složení jílových minerálů, nasycená a nenasycená hydraulická vodivost a potenciální obsah solí.

Existují typy slaných půd, nebo půd, které jsou náchylné k zasolení, přirozeně slané půdy se vyskytují ve Španělsku, Maďarsku, Slovensku, Řecku, Rakousku, Bosně, Srbsku, Chorvatsku, Rumunsku, Bulharsku, Ukrajině a Kaspické pánvi (Trnka et al. 2013).

Pokud nepočítáme zemědělské plochy, tak k zasolení přispívají také velké aglomerace, které v zimě používají NaCl jako posypový materiál na vozovky, ale vzhledem k dopravě můžeme pozorovat vyšší koncentrace NaCl až 10 m od vozovky (Kolařík et al. 2000).

Nadbytek solí v půdním roztoku je jedním ze základních stresových faktorů působících na rostliny (Kattab, 2007; Tausz, 2001). Podle webu eagri.cz míra zasolení půdy v České republice se týká velmi malého území, pokud se ale na tento jev zaměříme v celosvětovém měřítku, koncentrace solí v půdách se zvyšují. V současné době se míra zasolení zemědělské půdy pohybuje okolo 10 %, kdy se tyto půdy převážně vyskytují ve středovýchodní a střední Asii, v severní Africe a Severní americe a v Austrálii. Na obr. 6 jsou uvedeny výměry zasoleného území.



Obrázek 6 Mapa světa ukazující míru zasolení půdy (zdroj: [iisgod.com](http://iisgod.com))

Z uvedeného obrázku vyplývá, že výměra zasolených půd v rámci kontinentů je následující:

- Afrika: 1 899 000 km<sup>2</sup>,
- Asie, Tichomoří a Austrálie 3 107 000 km<sup>2</sup>,
- Blízký východ 1 808 200 km<sup>2</sup>,
- Latinská Amerika: 2 039 000 km<sup>2</sup>,
- Severní Amerika: 1 824 000 km<sup>2</sup>,
- Evropa: 2 011 000 km<sup>2</sup>.

(FAO Land and Plant Nutrition Management Service z webu: <https://plantstress.com/salinity/>).

Hodnotu zasolení půd určujeme metodou dle amerického ministerstva zemědělství – USDA, kde měříme vodivost půdního roztoku v mS/cm a následně rozdělujeme do tříd, jak dokládá tab. 1. Z uvedené tabulky vyplývá, že pokud se hodnota vodivosti pohybuje mezi 0–4 mS/cm, jedná se o nezasolenou půdu, pokud se vodivost pohybuje mezi 4–8 mS/cm,

jedná se o slabě zasolenou půdu, pokud se vodivost pohybuje mezi 8–16 mS/cm, jedná se o středně zasolenou půdu a pokud vodivost přesáhne hodnotu 16 mS/cm, jedná se o půdu silně zasolenou (Gardner et al. 1999).

*Tabulka 1: Hodnocení zasolení podle USDA. Pokud se hodnota vodivosti pohybuje mezi 0–4 mS/cm, jedná se o nezasolenou půdu, pokud se pohybuje mezi 4–8 mS/cm, jedná se o slabě zasolenou půdu, pokud se vodivost pohybuje mezi 8–16 mS/cm, jedná se o středně zasolenou půdu a pokud vodivost přesáhne 16 mS/cm, jedná se o půdu silně zasolenou. (Gardner et al. 1999)*

Třída	Obsah solí (%)	Vodivost (mS/cm)	Slovní označení
0	0,00 - 0,15	0–4	nezasolené
1	0,15 - 0,35	4–8	slabě zasolené
2	0,35 - 0,65	8–16	středně zasolené
3	nad 0,65	nad 16	silně zasolené

Metoda USDA také rozděluje rostliny podle snášenlivosti zemědělských plodin k salinitě, jak dokládá tab. 2. Z uvedené tabulky vyplývá, že rostliny podle míry zasolení půdy rozdělujeme do čtyř kategorií, rostliny citlivé k zasolení mohou růst na půdách, jejichž vodivost dosahuje hodnoty pod 1,5 mS/cm, patří sem například fazol, jetel, mrkev, nebo salát. Rostliny středně citlivé k zasolení rostou na půdách, jejichž vodivost dosahuje hodnoty 1,5–3 mS/cm, patří sem např. kukuřice, vojtěška, nebo brambory. Plodiny středně snášenlivé rostou na půdách, u kterých vodivost půdního roztoku dosahuje hodnoty 6 mS/cm, patří sem např. sója, nebo pšenice. Rostliny snášenlivé mohou růst na půdách, u kterých hodnota vodivosti dosahuje až 10 mS/cm (Shannon et al. 1998).

*Tabulka 2 Snášenlivost zemědělských plodin vzhledem k salinitě. Rostliny podle míry zasolení půdy rozdělujeme do čtyř kategorií, rostliny citlivé k zasolení mohou růst na půdách, jejichž vodivost dosahuje hodnoty pod 1,5 mS/cm, patří sem například fazol, jetel, mrkev, nebo salát. Rostliny středně citlivé k zasolení rostou na půdách, jejichž vodivost dosahuje hodnoty 1,5–3 mS/cm, patří sem např. kukuřice, vojtěška, nebo brambory. Plodiny středně snášenlivé rostou na půdách, u kterých vodivost půdního roztoku dosahuje hodnoty 6 mS/cm, patří sem např. sója, nebo pšenice. Rostliny snášenlivé mohou růst na půdách, u kterých hodnota vodivosti dosahuje až 10 mS/cm. (Shannon et al. 1998).*

<b>Snášenlivost</b>	<b>Vodivost (mS/cm)</b>	<b>Plodiny</b>
citlivé	pod 1,5	fazol, jetel, mrkev, salát
středně citlivé	1,5 - 3,0	kukuřice, brambory
středně snášenlivé	3,1- 6,0	sója, pšenice
snášenlivé	6,1 - 10	ječmen, cukrovka

Stanovení rozpustných solí v půdě na základě elektrické vodivosti je podle Škarpy (2020) rychlou metodou, kterou je možné využít ke stanovení celkového obsahu rozpustných solí, kde vlastní stanovení vychází z Ohmova zákona, viz rovnice 1. Odpor kapalných vodičů je za stejných podmínek, především teploty, stálý. Převrácenou hodnotou elektrického odporu je elektrická vodivost, jak dokládá rovnice 2.

$$R = \frac{U(V)}{I(A)} [\Omega]$$

*Rovnice 1 Ohmův zákon*

$$G = \frac{I(A)}{U(V)} [S]; G = \frac{1}{R(\Omega)} [S]$$

*Rovnice 2 Vzorce pro výpočet vodivosti*

### 3.4 Reakce rostlin na zasolení

Reakce rostlin na zasolení byly rozděleny do dvou hlavních fází. V první fázi dochází ke snížení růstu nezávislé na iontech, ke kterému dochází v řádu minut až dní. Způsobuje uzavření průduchů a inhibici růstu buněk především v růstovém vrcholu rostliny (Rajendran et al., 2009). V druhé fázi během několika dní až týdnů narůstají hladiny cytotoxických iontů, jakými jsou vysoké koncentrace  $\text{Na}^+$ ,  $\text{Cl}^-$ , nebo  $\text{SO}_4^{2-}$ , které zpomalují metabolické procesy, snižují příjem esenciálních živin, jako jsou P, K, N a Ca, způsobují předčasné stárnutí, a nakonec buněčnou smrt (Zhu, 2001 a Roy et al. 2014).

Podle tolerance rostlin k zasolení je Močková et al. (2014) rozděluje na dvě skupiny: halofyty – rostliny, které jsou velmi tolerantní k zasolení půdy, některé halofyty ke svému růstu dokonce vyžadují zasolenou půdu; druhou skupinou jsou glykofyty – rostliny silně citlivé na zasolení.

Podle uvedených autorů jsou dále halofyty rostliny, které jsou tolerantní k zasolení, nebo ke svému životu zasolení potřebují. Podle míry přizpůsobení k salinitě je rozděluje do tří skupin, na obligátní, fakultativní a přechodné.

Obligátní halofyty jsou rostliny, které ke svému správnému fungování a životu přímo vyžadují zasolené půdy (okolo 0,5 %). Nepřežívají při nízkých koncentracích. Mezi obligátně halofytinu zeleninu řadíme například bařičku přimořskou (*Triglochin maritima*), která se v České republice vyskytuje na jediném místě, v Národní přírodní rezervaci Slanisko u Nesytu. Rostlina se dříve hojně pěstovala kvůli mírně slaným listům, které se v kuchyni zpracovávaly stejně, jako špenát (Danihelka et al. 2001).

Mezi častější druhy rostlin v České republice patří limonka obecná (*Limonium vulgare*), solnička rozprostřená (*Suaeda prostrata*), nebo také zblochanec oddálený (*Puccinellia distans*), který se vyskytuje v hojném počtu podél vozovek, které jsou v zimě solené (Danihelka et al. 2001).

Fakultativní halofyty jsou podle Močková et al. (2014) rostliny, které dobře snášeji zasolené půdy, ale ke svému životu zasolenou půdu nepotřebují. Mezi fakultativně halofytinu zeleninu patří například špenát setý (*Spinacia oleracea*), mezi ostatní fakultativní halofyty

patří mochna husí (*Potentilla anserina*), rostliny rodu *Tamarix*, dále druhy rodů *Chenopodium*, či *Atriplex*.

Přechodné halofyty prosperují na nezasolených půdách, ale snesou občasné zasolení. Do této skupiny jsou řazeny např. *Sporobulus marginatus*, *Haloxylon saliconicum*, *Datyloctenium sindicum* (Močková et al. 2014).

Vliv zasolení na rostliny můžeme rozdělit na přímé a nepřímé vlivy. Mezi přímé vlivy patří dle Suchara (1993) a Kolaříka (2000) poškození pupenů, nezdřevnatělých výhonků a kůry, odumírání kambia, nekrózy a předčasný opad listů.

Mezi nepřímé (sekundární) vlivy zahrnují uvedení autoři iontový stres (jednostranné nahromadění iontů  $\text{Na}^+$  a  $\text{Cl}^-$  v pletivech rostlin, osmotický stres, který se odráží ve snížením příjmu vody a projevuje se náhlým usycháním, omezení příjmu důležitých iontů).

Zasolení může rostlinu ovlivňovat různým způsobem. Vysoká koncentrace solí způsobuje ztráty vody a vyvolává v rostlině stres způsobený vodním deficitem. Nadbytek solí v půdním roztoku má na kořeny rostlin nepříznivý efekt. Vzrůstá vodní potenciál, který ovlivňuje proudění vody do kořenů. Voda s vyššími koncentracemi solí proudí do kořenů pomaleji než voda, která obsahuje solí méně. Tím dochází ke zpomalení růstu rostliny, neméně často dochází k vadnutí (Kutílek, 2012).

Ionty sodíku jsou podle Tausz (2001) pro rostliny toxické, pokud je rostlina rychle neuschová do vakuol. Hraniční toxicita sodných iontů závisí na množství těchto iontů pro většinu půd je to 150 mM a více (Rengasamy et al. 2003). Salinita způsobuje nerovnováhu i v minerální výživě rostlin. Může dojít k inhibici enzymů Calvinova cyklu, jež má za následek vyvolání oxidativního stresu v buňce, nebo dochází ke změnám v osmotickém potenciálu vodního roztoku. Všechny tyto procesy nejsou pro rostlinu vhodné a mohou vést k zastavení růstu, nebo dokonce k úhynu rostliny (Sairam et al. 2004).

Rostliny reagují na změnu vnějšího osmotického tlaku akumulováním osmolytů, mezi které patří cukerné alkoholy, sacharidy, nebo polární metabolity (Desingh et al. 2007). Mezi hlavní osmolyty řadíme prolin a u CAM rostlin malát, nebo oxalát.

Pokud působením vysokých koncentrací solí nastává omezení fotosyntézy, okamžitě se zvyšuje produkce ROS (reactive oxygen species – reaktivní formy kyslíku). Jejich množství je však omezeno rychlostí tvorby, reakce s lipidy, proteiny a jinými makromolekulami, rychlostí jejich degradace a rychlostí reakce antioxidantivního systému buňky (Kattab, 2007). Odstraňování ROS, které vznikly působením solí o vysokých koncentracích, se uskutečňuje pomocí velkého množství enzymů. SOD (superoxid dismutáza) způsobuje přeměnu superoxidu na  $H_2O_2$ , ten je dále zpracován peroxidázami, nebo katalázou (Sairam et al. 2004).

Vstup soli do kořenového systému spouští aktivaci několika signálních kaskád, jakými jsou ionty  $Ca^{2+}$ , kyselina abscisová, ethylen, nebo MAPK (Mitogen-activated protein kináza), které generují iontovou toleranci omezením přítoku  $Na^+$  do kořene a snížením translokace  $Na^+$ . Tolerance pletiv je zvýšena kompartmentací toxicických iontů do vakuol, aby se zabránilo škodlivým účinkům na cytoplazmatické procesy. Výše uvedené strategie byly pozorovány u mnoha typů rostlin a rozdíly v toleranci mezi glykofyty a halofyty jsou způsobeny především vyšší robustností mechanismů používaných rostlinami, spíše než kvalitativním rozdílem (Maathius et al. 2014).

Salinita způsobuje rostlinám osmotický a vodní stres, ale zároveň poskytuje levné osmotikum ke snížení osmotického potenciálu buněk a tím zabraňuje ztrátám vody (Maathius et al., 2014).

Draselný kationt ( $K^+$ ) je nejhojněji vyskytujícíse kationt v rostlinných pletivech a je základní živinou, která je důležitá pro mnoho enzymatických reakcí, iontovou a pH homeostázu a udržení přiměřeného membránového potenciálu (Ahmad a Maathius 2014). Cytosolický  $K^+$  je také důležitým determinantem adaptivních reakcí rostlin na široké množství stresů pocházejících z životního prostředí. V hydratované formě jsou  $Na^+$  a  $K^+$  chemicky a strukturně velmi podobné, proto některé biofyzikální role  $K^+$ , zejména generování turgoru, může plnit  $Na^+$ . Nicméně  $K^+$  je vyžadován pro mnoho fyziologických a biochemických procesů, zatímco  $Na^+$  není. Transportní systémy, které se podílejí na příjmu a distribuci  $K^+$  a  $Na^+$  v kombinaci jsou klíčovými determinanty tolerance salinity vzhledem k jejich schopnosti určovat pletivové a cytosolické poměry  $K^+/Na^+$ , což jsou parametry, o kterých se obecně předpokládá, že mají velký vliv na toleranci salinity (Shabala et al. 2008).

## 4 Metodika

Vliv salinity byl sledován na základě změn obsahu fotosyntetických pigmentů, stomatální vodivosti, ryhlosti výměny plynů u juvenilních rostlin lociky seté, kozlíčku polního a čtyřboče rozkladité. Vliv salinity byl sledován v rámci následujících koncentrací NaCl 50, 75, 100 a 125 mM NaCl.

### 4.1 Rostlinný materiál

Pro pokus byly vybrány rostliny *Lactuca sativa*, *Tetragonia tetragonoides* L. a *Valerianella locusta*.

#### *Lactuca sativa* var. *capitata* 'Král Máje'

Locika je letnička i dvouletka se světle i tmavě zelenými, načervenalými i tmavočervenými listy. Tvoří hlávkovité růžice s hladkými i zkadeřenými listy. Tradiční odrůda jarního salátu se středně velkou, dobře uzavřenou hlávkou a světle zeleným listem. Typickým znakem je červenání okrajů vrcholových listů při nižších teplotách. Odrůda má střední odolnost vůči vybíhání ([www.semo.cz](http://www.semo.cz)).

#### *Tetragonia tetragonoides* L.

Jednoletá bylina tvořící mohutné trsy s rozvětvenými a až 1 m dlouhými lodyhami, které jsou bohatě rozvětvené. Plodem je peckovice, která může být až 1 cm velká, na povrchu je 4–8 růžků ([www.semena.cz](http://www.semena.cz)).

#### *Valerianella locusta* (L.) Laterr. 'Verte de Cambrai'

Nenáročná listová zelenina, která má vysokou nutriční hodnotu. Pěstuje se pro chutné listové růžice, které se upravují jako salát. Listy jsou šťavnaté a mají vyšší biologickou hodnotu než salát. Obsahuje vyšší množství vitamínu C a provitamínu A. Dále má také hodně vitamínů skupiny B, obsahuje vitamín E, kyselinu listovou, rutin a např. také vápník ([www.dobrasemena.cz](http://www.dobrasemena.cz)).

## **4.2 Založení pokusu**

Rostliny byly pěstovány v nádobách o velikosti  $11 \times 11$  cm. Jako pěstební medium byl použit zahradnický substrát jemného složení, skládá se z kvalitního kůrového kompostu, dřevního vlákna, vrchovištní světlé a černé rašeliny slabě, až středně rozložené, s přídavkem vápence pro úpravu hodnoty pH a minerálního hnojiva NPK, v poměru živin 18:6:19. Schéma pokusu bylo rozvrženo na 4 pokusné varianty (50, 75, 100, 125 mM NaCl) a jednu kontrolní, roztok byl aplikován ve formě zálivky. Roztoky chloridu sodného byly aplikovány v modifikovaném živném roztoku dle Hoaglanda. V průběhu se uskutečnilo 6 měření - 0, 1, 3, 7, 10 a 14 dnů po zahájení pokusu.

## **4.3 Měření fyziologických charakteristik**

### **4.3.1 Měření rychlosti výměny plynů a stomatální vodivosti**

Rychlosť výměny plynů a stomatální vodivost byly sledovány pomocí infračerveného analyzátoru plynů LCpro+ (ADC BioScientific Ltd., Hoddesdon, Velká Británie). LCpro+ je gazometrický přenosný přístroj, který je určený na měření rychlosti fotosyntézy a transpirace, substomatální CO<sub>2</sub> a stomatální vodivosti. Rozsah měření CO<sub>2</sub> je 0 až 3000 µmol a rozsah pro měření H<sub>2</sub>O 0 až 75,5 mmol (adc.co.uk 2019). Během procesu měření se zobrazí jak data, tak i grafické informace. Pro měření CO<sub>2</sub> využívá nerozptýlené infračervené záření, to vyplývá ze skutečnosti, že v poměru ke koncentraci plynu CO<sub>2</sub> absorbuje infračervené oblasti. Rychlosť transpirace a fotosyntézy se vypočítá z průtoku a změny koncentrace plynů mezi výstupem a vstupem z komůrky. U zástupců listové zeleniny byly fyziologické charakteristiky měřeny při hustotě ozáření 650 mol.m<sup>-2</sup>.s<sup>-1</sup> a teplotě 25 °C. Měření se uskutečnilo na základě metodických pokusů Holé et al. (2012).

### **4.3.2 Stanovení pigmentů**

Ke stanovení chlorofylu v listech byla použita metoda podle Porra (1989). Z každé rostliny a z variant se odebralo cca 5 listů, ze kterých byly pomocí korkovrtu vyseknuty 2 terčíky o ploše 0,5 cm<sup>2</sup>. Terčíky byly vloženy do 1 ml dimethylformamidu (DMF). Během 24 hodin se pigmenty extrahovaly v chladu, temnu za promíchávání. Druhý den by roztok

pigmentů spektrofotometricky vyhodnocen pomocí přístroje UV-Vis Evolution 2000 (ThermoScientific). Jako slepý vzorek se použil čistý dimethylformamid. Měření absorbancí probíhalo při vlnových délkách 480; 648,8; 663,8 a 710 nm.

Následující rovnice popisují výpočet fotosynteticky aktivních pigmentů:

$$Chl_A = 12 \times A_{663,8} - 3,11 \times A_{646,8}$$

$$Chl_B = 20,78 \times A_{646,8} - 4,88 \times A_{663,8}$$

$$Chl_{celkový} = 7,12 \times A_{663,8} + 17,67 \times A_{646,8}$$

$$Kar = \frac{(1000 \times A_{480} - 1,12 \times Chl_A - 34,07 \times Chl_B)}{245}$$

Výsledky všech rovnic jsou v mg/l neboli  $\mu\text{g}/\text{ml}$ .

Pro přepočet výsledků na nM/ml byly hodnoty pro chlorofyly vynásobeny jejich koeficienty, které mají hodnotu pro Chl a 1,118 a Chlorofyl b 1,102.

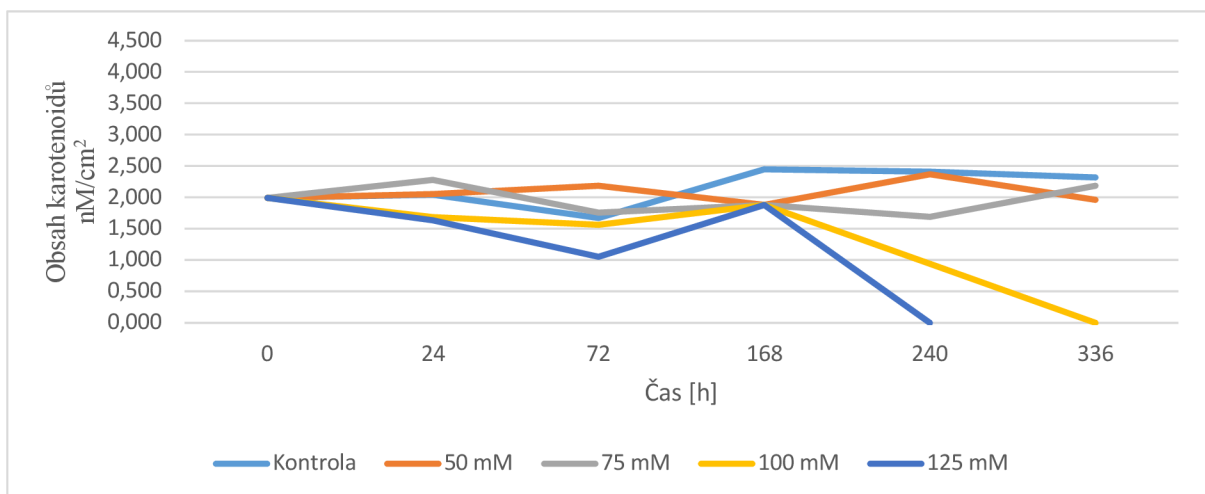
## 5 Výsledky

Modelovými rostlinami byly *Valerianella locusta* (L.) Laterr. 'Verte de Cambrai', *Lactuca sativa* var. *capitata* 'Král Máje' a *Tetragonia tetragonoides* L. v juvenilním stádiu. Jednalo se o nádobový pokus, kdy v každé nádobě bylo maximálně 6 rostlin jednoho druhu. Nádoby byly po celou dobu umístěny ve skleníku s částečně řízenými podmínkami. Rychlosť výměny plynů a stomatální vodivost byly sledovány pomocí infračerveného analyzátoru plynů LCpro+. Ke stanovení chlorofylu v listech byla použita metoda podle Porra.

## 5.1 Fotosynteticky aktivní pigmenty

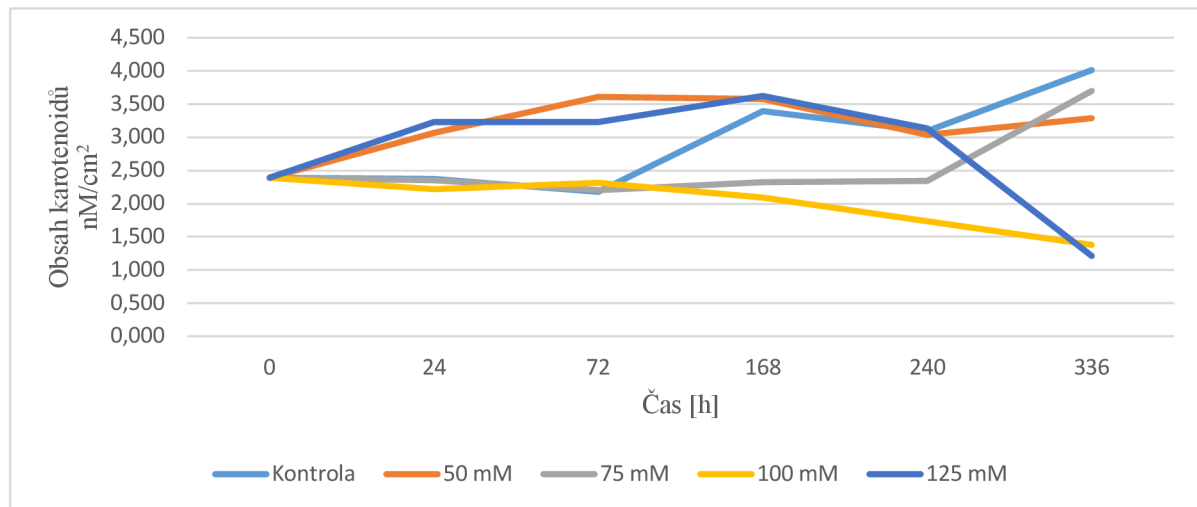
### 5.1.1 Karotenoidy

V grafu 1 jsou uvedeny změny v obsahu karotenoidů v listech polníčku. Z něho vyplývá, že polníček citlivě reagoval na zvýšenou koncentraci soli v prostředí, neboť u nejvyšších koncentrací bylo zaznamenáno odumření rostlin. V případě koncentrace 125 mM NaCl rostlinky odumřely po 72 h a u varianty 100 mM NaCl to bylo po 240 h. U rostlin z kontrolních podmínek byl nejvyšší obsah karotenoidů naměřen po 168 h ( $2,449 \text{ nM/cm}^2$ ) a naopak nejnižší po 72 h ( $1,672 \text{ nM/cm}^2$ ). Od zahájení pokusu ( $1,993 \text{ nM/cm}^2$ ) do 72 h se obsah karotenoidů v listech snížoval. Toto snížení bylo vystřídáno zvýšením obsahu karotenoidů na jejich maximální obsah, které bylo dále vystřídáno téměř lineárním poklesem do konce sledovaného období ( $2,317 \text{ nM/cm}^2$ ). U rostlin rostoucích v koncentraci soli 50 mM se nejprve obsah karotenoidů zvyšoval z hodnoty  $1,993 \text{ nM/cm}^2$  na hodnotu  $2,190 \text{ nM/cm}^2$ . Pokles byl zjištěn po 168 h. Uvedený pokles byl opět vystřídán zvýšením obsahu karotenoidů o 25 %. Na konci sledovaného období, jako v případě kontrolních rostlin se obsah karotenoidů snížil. Zcela odlišný trend byl zaznamenán u rostlin rostoucích v prostředí s 75 mM NaCl, jak dokumentuje graf 1. Z něho je patrné, že u rostlin z této varianty se nejprve v důsledku působení stresoru obsah karotenoidů zvýšil o 14 % na hodnotu ( $2,280 \text{ nM/cm}^2$ ). Uvedené zvýšení bylo nahrazeno poklesem na minimální hodnotu  $1,690 \text{ nM/cm}^2$ , po níž následovalo opět nárůst, který byl doprovázen poklesem. Na konci pokusu se opět obsah karotenodiů zvýšil ( $2,186 \text{ nM/cm}^2$ ).



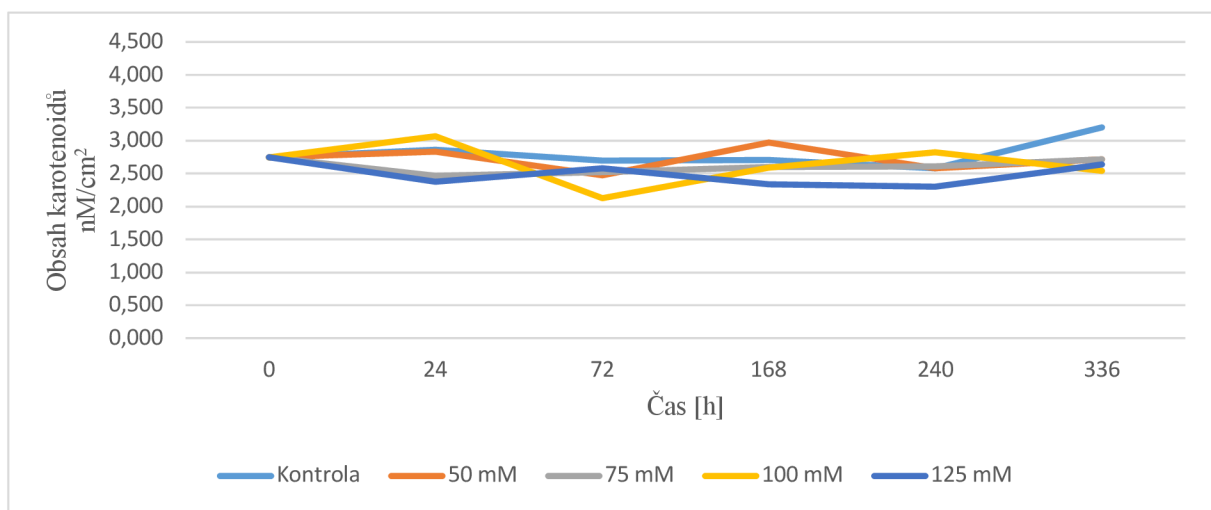
Graf 1 Změny obsahu karotenoidů u druhu *Valerianella locusta* [ $\text{nM/cm}^2$ ] v závislosti na koncentraci  $\text{NaCl}$  a čase

V grafu 2 jsou uvedeny změny v obsahu karotenoidů v listech salátu. Z něho vyplývá, že salát citlivě reagoval na zvýšenou koncentraci soli v prostředí, neboť u nejvyšších koncentrací bylo zaznamenáno postupné odumírání rostlin. V případě koncentrace 125 mM NaCl lze pozorovat výrazný pokles po 240 h, kdy obsah karotenoidů klesl z hodnoty 3,136 nM/cm<sup>2</sup> na hodnotu 1,211 nM/cm<sup>2</sup>. Rostliny varianty 100 mM NaCl začaly odumírat po 72 h, kdy byl obsah karotenoidů 2,312 nM/cm<sup>2</sup>, v posledním termínu byla naměřena hodnota obsahu karotenoidů 1,378 nM/cm<sup>2</sup>. U rostlin z kontrolních podmínek byl nejvyšší obsah karotenoidů naměřen po 336 h (4,013 nM/cm<sup>2</sup>) a naopak nejnižší po 72 h (2,200 nM/cm<sup>2</sup>). Od zahájení pokusu (2,390 nM/cm<sup>2</sup>) do 72 h se obsah karotenoidů v listech snížoval. Toto snížení bylo vystřídáno zvýšením obsahu karotenoidů o 54 %. U rostlin rostoucích v koncentraci soli 50 mM se nejprve obsah karotenoidů lineárně zvyšoval od založení pokusu (2,390 nM/cm<sup>2</sup>) až do měření po 72 h na nejvyšší hodnotu (3,609 nM/cm<sup>2</sup>). Na konci sledovaného období, jako v případě kontrolních rostlin se obsah karotenoidů zvýšil. Podobný trend byl zaznamenán u rostlin rostoucích v prostředí s 75 mM NaCl, jak dokumentuje graf 2. Z něho vyplývá, že u rostlin z této varianty se nejprve v důsledku působení stresoru obsah karotenoidů nelišil.



Graf 2 Změny obsahu karotenoidů u druhu *Lactuca sativa* [nM/cm<sup>2</sup>] v závislosti na koncentraci NaCl a čase

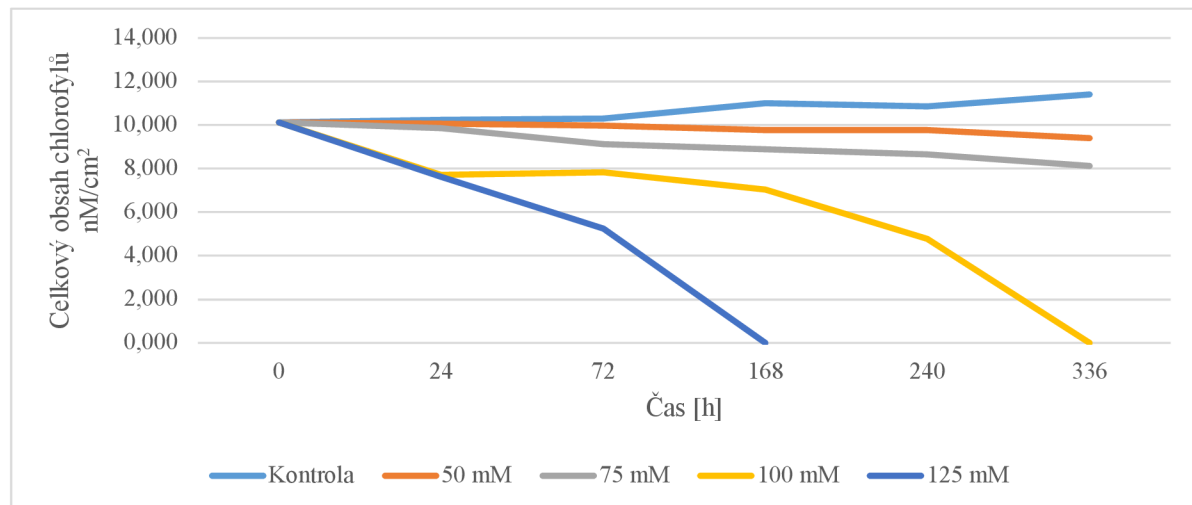
V grafu 3 jsou uvedeny změny v obsahu karotenoidů v listech čtyřboče. Z něho vyplývá, že čtyřboč nereaguje citlivě na salinitu, neboť nejsou zaznamenány výrazné změny v obsahu karotenoidů v rámci variant. Nejvýraznější pokles byl zaznamenán u koncentrace 100 mM NaCl. Po výrazném nárustu od zahájení pokusu (2,748 nM/cm<sup>2</sup>) do 24 h (3,067 nM/cm<sup>2</sup>) je patrné snížení na nejnižší hodnotu v čase 72 h (2,216 nM/cm<sup>2</sup>). Dále se hodnoty zvyšovaly až na 2,828 nM/cm<sup>2</sup>, které byly naměřeny 240 h po založení pokusu. Poté se obsah karotenoidů snížil o 11 %. Podobný průběh má křivka naměřených hodnot u varianty 50 mM NaCl. Nejnižší hodnota byla naměřena po 72 h (2,474 nM/cm<sup>2</sup>) a nejvyšší hodnota po 168 h (2,972 nM/cm<sup>2</sup>). V případě koncentrace 125 nM NaCl byla nejvyšší hodnota zjištěna po 336 h (2,643 nM/cm<sup>2</sup>), avšak nejnižší koncentrace byla zaznamenána po 240 h (2,301 nM/cm<sup>2</sup>). U rostlin z kontrolních podmínek byl nejvyšší obsah karotenoidů stanoven po 336 h (3,202 nM/cm<sup>2</sup>). Minimální obsah pigmentů byl zjištěn v termínu měření 72 h. V tomto termínu měření byl obsah karotenoidů 2,699 nM/cm<sup>2</sup>. Snížení obsahu pigmentů bylo dále vystřídáno výrazným nárustom obsahu pigmentů do konce sledovaného období (3,202 nM/cm<sup>2</sup>). U rostlin rostoucích v koncentraci soli 75 mM se nejprve obsah karotenoidů snížil z hodnoty (2,748 mM/ml) na hodnotu (2,467 mM/ml). Poté se obsah karotenoidů zvyšoval až do konce sledovaného období (2,721 nM/cm<sup>2</sup>).



Graf 3 Změny obsahu karotenoidů u druhu *Tetragonia tetragonoides* [nM/cm<sup>2</sup>] v závislosti na koncentraci NaCl a čase

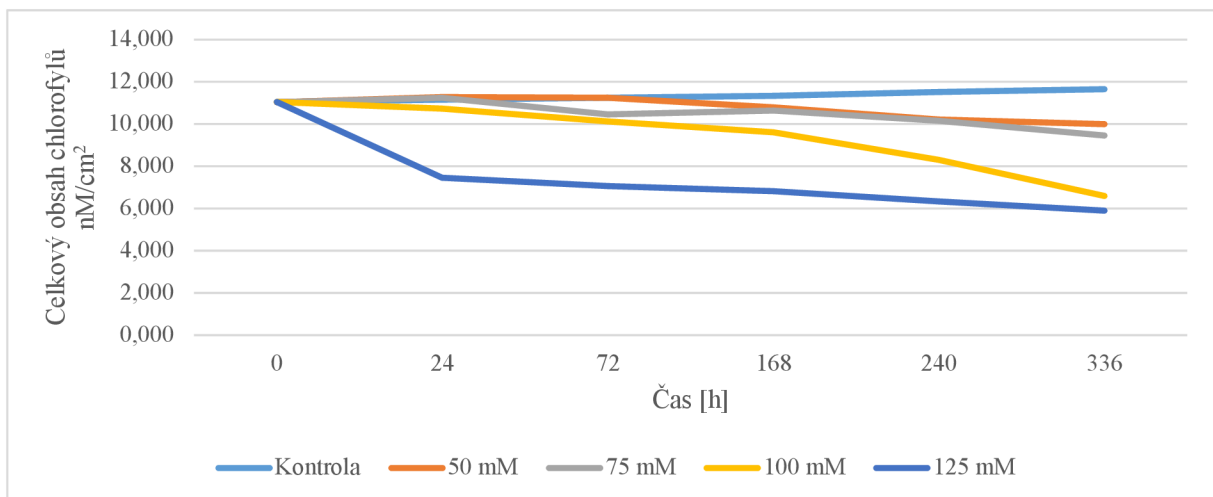
### 5.1.2 Celkový obsah chlorofylů

V grafu 4 jsou uvedeny změny v obsahu celkového chlorofylu v listech polníčku. Je patrné, že polníček citlivě reagoval na zvýšenou koncentraci soli v prostředí, neboť u nejvyšších koncentrací bylo zaznamenáno odumření rostlin. U kontrolních rostlin byl nejvyšší obsah celkového chlorofylu naměřen po 336 h ( $11,409 \text{ nM/cm}^2$ ) a naopak nejnižší v den zahájení pokusu ( $10,124 \text{ nM/cm}^2$ ). Od zahájení pokusu do 168 h se obsah celkového chlorofylu v listech zvyšoval. Toto zvýšení bylo vystřídáno snížením obsahu celkového chlorofylu ( $10,852 \text{ nM/cm}^2$ ). Snížení obsahu pigmentů bylo dále vystřídáno nárustum, který byl zaznamenán až do konce pokusu. U rostlin rostoucích v koncentraci soli  $50 \text{ mM}$  se nejprve obsah celkového chlorofylu lineárně snižoval z počáteční hodnoty ( $10,124 \text{ nM/cm}^2$ ) na konečnou hodnotu ( $9,403 \text{ nM/cm}^2$ ), která byla zaznamenána na konci pokusu. Podobný trend byl zaznamenán u rostlin rostoucích v prostředí s  $75 \text{ mM NaCl}$ , jak dokumentuje graf 4. Z něho je patrný pokles obsahu chlorofylů od dne založení ( $10,124 \text{ nM/cm}^2$ ) až do posledního měření, které se uskutečnilo po 336 h ( $8,126 \text{ nM/cm}^2$ ).



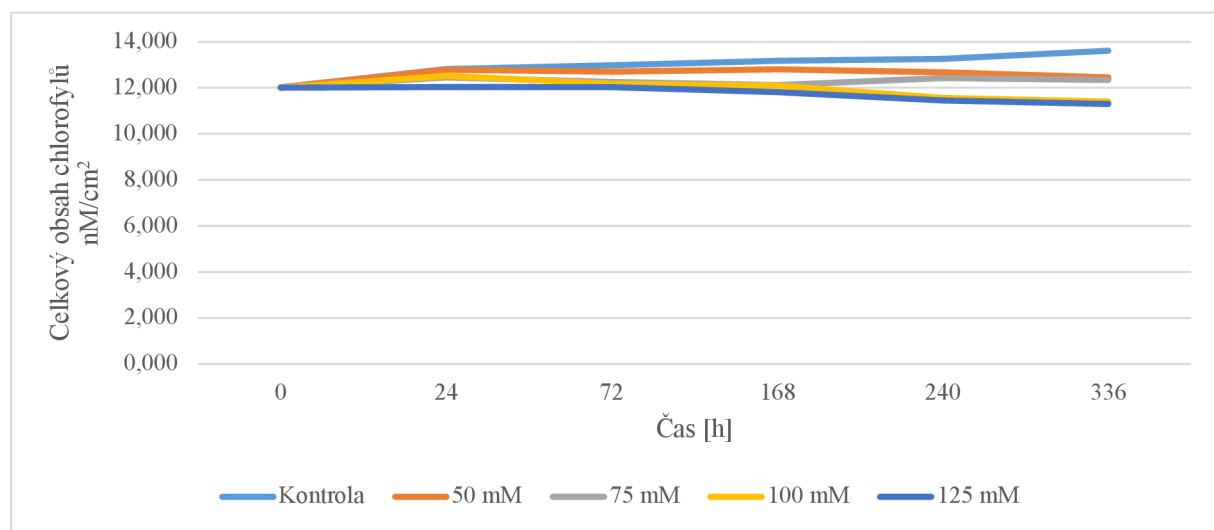
Graf 4 Změny obsahu celkového chlorofylu u druhu *Valerianella locusta* [ $\text{nM/cm}^2$ ] v závislosti na koncentraci  $\text{NaCl}$  a čase.

Graf 5 znázorňuje změny v obsahu celkového chlorofylu v listech salátu v rámci jednotlivých termínů odběru. V případě koncentrace 125 mM NaCl se obsah celkového chlorofylu snižoval po celou dobu. Nejvýraznější pokles je patrný po 24 h, kdy činil 48 %, poté je patrný lineární pokles až na hodnotu 5,898 nM/cm<sup>2</sup> (336 h). U varianty 100 nM NaCl se hodnoty obsahu chlorofylů snižovaly rovnoměrně v průběhu 168 h (9,595 nM/cm<sup>2</sup>), poté byl zaznamenán výrazný pokles až do konce měření o 47 %. U rostlin z kontrolních podmínek byl nejvyšší obsah celkového chlorofylu stanoven po 336 h (11,651 nM/cm<sup>2</sup>) a naopak nejnižší v den zahájení pokusu (11,046 nM/cm<sup>2</sup>). U varianty 50 mM NaCl se od zahájení pokusu (11,046 nM/cm<sup>2</sup>) do 24 h obsah celkového chlorofylu v listech zvýšil (11,279 M/cm<sup>2</sup>). Toto zvýšení bylo vyštíráno postupným snižováním obsahu celkového chlorofylu na hodnotu 9,995 nM/cm<sup>2</sup>. Tento obsah chlorofylů byl zjištěn po 336 h, tedy v posledním termínu měření. U rostlin rostoucích v koncentraci soli 75 mM byl pozorován podobný trend, jako v případě koncentrace 50 mM NaCl. Po 24 h (11,243 nM/cm<sup>2</sup>) byl zaznamenán pokles o 7 %, po kterém následoval mírný nárust po 168 h (10,632 M/cm<sup>2</sup>). Poté se až do konce pokusu obsah chlorofylu snižoval až na konečnou hodnotu 9,457 nM/cm<sup>2</sup>.



Graf 5 Změny obsahu celkového chlorofylu u druhu *Lactuca sativa* [nM/cm<sup>2</sup>] v závislosti na koncentraci NaCl a čase.

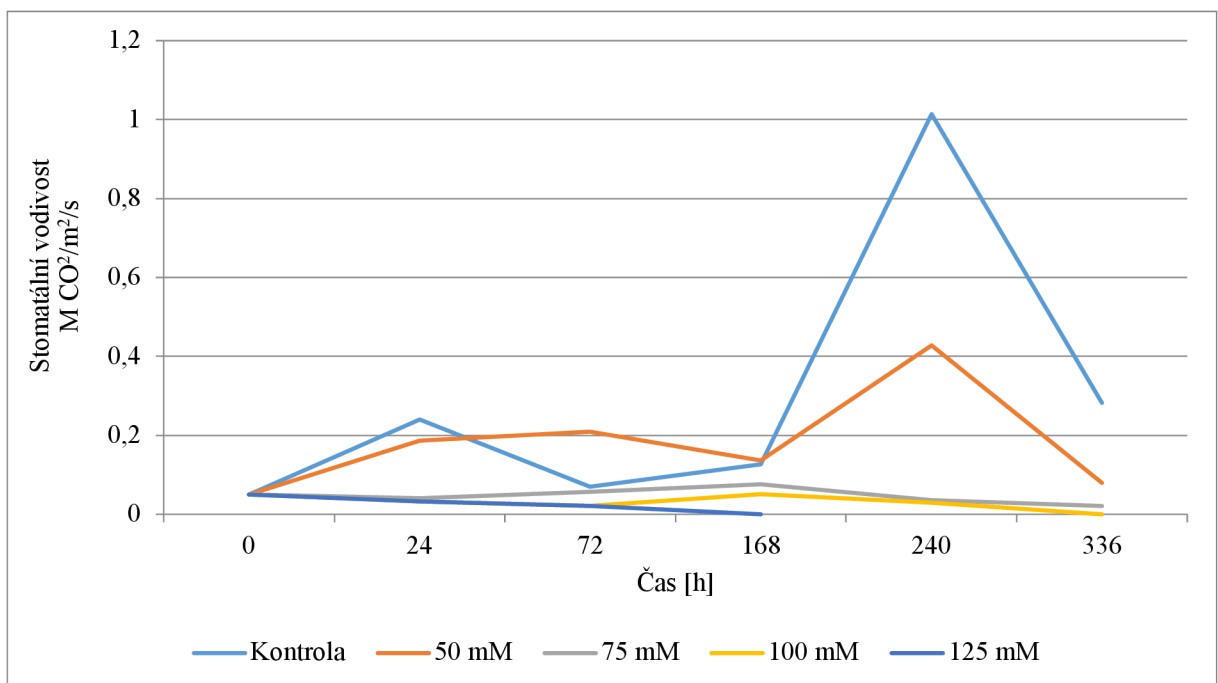
Graf 6 dokládá průběh změn obsahu celkového chlorofylu v listech čtyřboče v závislosti na koncentraci NaCl a čase. Z grafu je patrné, že u všech sledovaných variant, až na variantu 125 mM NaCl, se obsah chlorofylu zvyšoval. V případě varianty 125 mM NaCl se naopak obsah chlorofylů vlivem délky působení stresoru snižoval. Nejvýraznější rozdíl byl zaznamenán mezi měřeními po 72 h (12,037 nM/cm<sup>2</sup>) a 240 h (11,444 nM/cm<sup>2</sup>). U kontrolní varianty byl zaznamenán nárůst obsahu chlorofylů v listech, kdy na počátku pokusu jejich obsah činil 12,027 nM/cm<sup>2</sup> a po 24 h (12,818 nM/cm<sup>2</sup>). Na konci pokusu byl obsah chlorofylů ve výši 13,179 nM/cm<sup>2</sup>. V případě varianty 50 mM NaCl byl nejvyšší nárůst na počátku sledovaného období, kdy se obsah chlorofylů zvýšil o 6 %. Maximální hodnota obsahu chlorofylů byla stanovena na konci pokusu (13,619 nM/cm<sup>2</sup>). U varianty 75 mM NaCl byl zaznamenán obdobný trend, jako u předcházejících variant pokusu, kdy na jeho počátku se obsah chlorofylů zvýšil o 4 % na hodnotu 12,807 nM/cm<sup>2</sup>. Pokles byl zaznamenán až do 4. termínu (168 h), kdy obsah pigmentů činil 12,124 nM/cm<sup>2</sup>. Na konci pokusu byl obsah chlorofylů 12,420 nM/cm<sup>2</sup>. Také u rostlin rostoucích v koncentraci 100 mM NaCl se obsah pigmentů nejprve snižoval do 168 h (12,084 nM/cm<sup>2</sup>). Nejvyšší obsah pigmentů byl stanoven 24 h po zahájení pokusu (12,527 nM/cm<sup>2</sup>) a naopak nejnižší na jeho konci (11,407 nM/cm<sup>2</sup>).



Graf 6 Změny obsahu celkového chlorofylu u druhu *Tetragonia tetragonoides* [nM/cm<sup>2</sup>] v závislosti na koncentraci NaCl a čase.

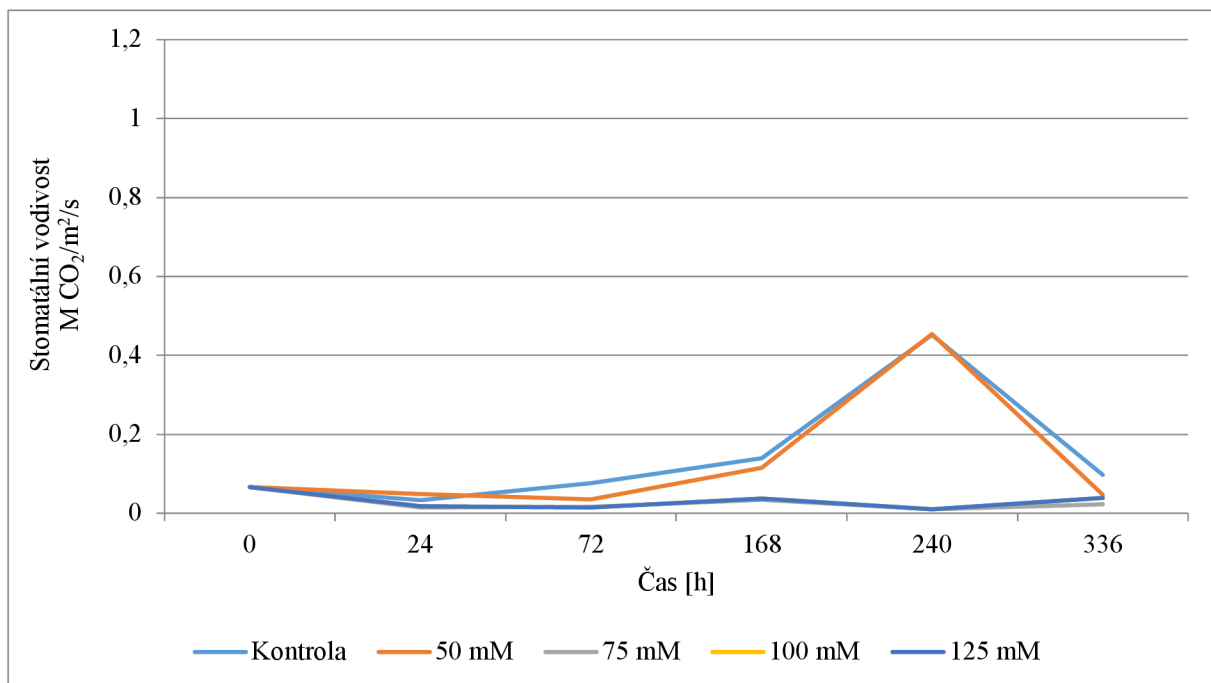
## 5.2 Stomatální vodivost

Graf 7 demonstruje hodnoty stomatální vodivosti polníčku v závislosti na koncentraci roztoků NaCl a čase. Z grafu je patrné, že nejvyšší hodnota stomatální vodivosti byla u kontrolní varianty u měření po 240 h ( $1,014 \text{ M CO}_2/\text{m}^2/\text{s}$ ). Nejnižší hodnota u kontrolní varianty byla zaznamenána po 72 h ( $0,07 \text{ M CO}_2/\text{m}^2/\text{s}$ ). U varianty 50 mM NaCl byl zaznamenán nárůst stomatální vodivosti po 72 h ( $0,05 \text{ M CO}_2/\text{m}^2/\text{s}$ ), přičemž maximální hodnota byla zjištěna za 240 h po založení pokusu ( $0,428 \text{ M CO}_2/\text{m}^2/\text{s}$ ). V případě dalších variant pokusu je možné zaznamenat obdobný trend vývoje změn stomatální vodivosti. U rostlin rostoucích ve variantě 75 mM NaCl byla maximální hodnota stomatální vodivosti naměřena po 168 h ( $0,076 \text{ M CO}_2/\text{m}^2/\text{s}$ ) a na straně druhé nejnižší po 240 h od založení pokusu ( $0,029 \text{ M CO}_2/\text{m}^2/\text{s}$ ). U variant 100 mM NaCl a 125 mM NaCl byly změny hodnot stomatální vodivosti v časové úseku od založení pokusu až do 72 h shodný. V tomto časovém úseku byly naměřené hodnoty stomatální vodivosti v intervalu hodnot od  $0,05 \text{ M CO}_2/\text{m}^2/\text{s}$  (0 h) do  $0,021 \text{ M CO}_2/\text{m}^2/\text{s}$  (72 h). Po 72 hodinách odumřela varianta 125 mM NaCl a po 240 h varianta 100 mM NaCl.



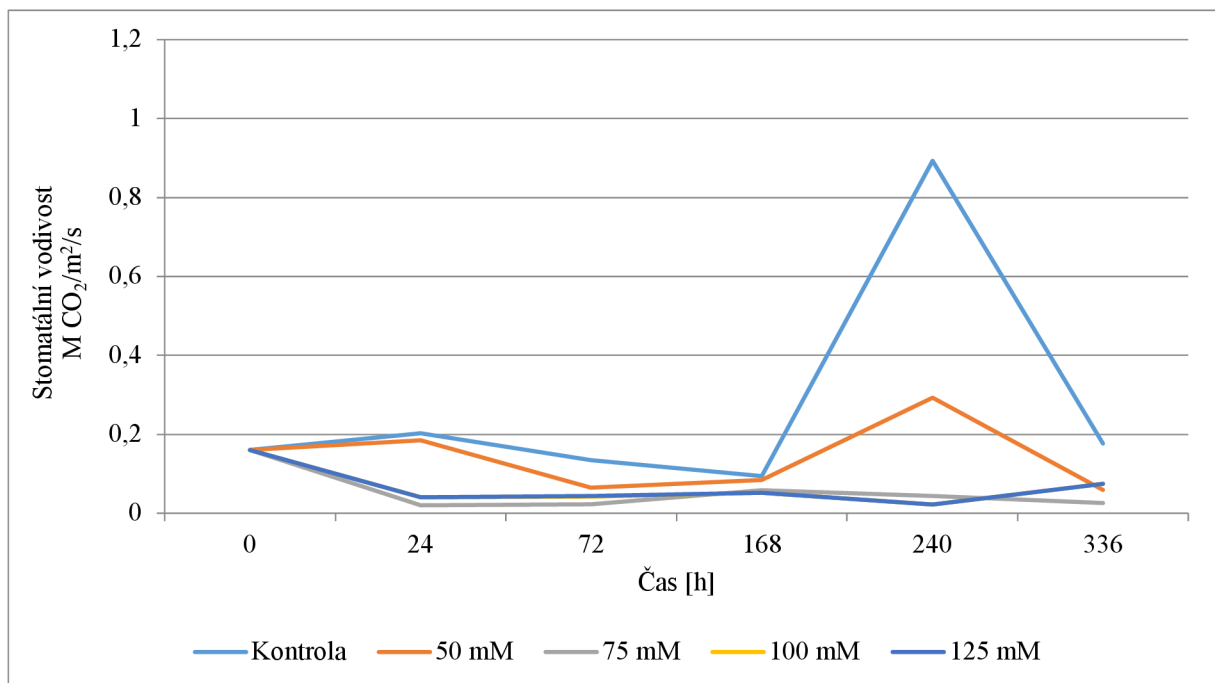
Graf 7 Změny hodnot stomatální vodivosti u druhu *Valerianella locusta* [ $\text{M CO}_2/\text{m}^2/\text{s}$ ] v závislosti na koncentraci NaCl a čase.

U rostlin salátu byly sledovány změny hodnot stomatální vodivosti, jak dokládá graf 8, ze kterého vyplývá, že naměřené hodnoty u kontrolní varianty a stresované varianty mají velmi podobný průběh. Nejvyšší hodnota byla u těchto variant zaznamenána po 240 h ( $0,453 \text{ M CO}_2/\text{m}^2/\text{s}$ ), poté následoval výrazný pokles, u kontrolní varianty byla naměřena hodnota stomatální vodivosti po 336 hodinách  $0,097 \text{ M CO}_2/\text{m}^2/\text{s}$  a u varianty  $50 \text{ mM NaCl}$   $0,047 \text{ M CO}_2/\text{m}^2/\text{s}$ . Z grafu 8 dále vyplývá, že obdobný trend měly stresované varianty  $75 \text{ mM NaCl}$ ,  $100 \text{ mM NaCl}$  a  $125 \text{ mM NaCl}$ . U těchto variant se od založení pokusu ( $0,16 \text{ M CO}_2/\text{m}^2/\text{s}$ ) hodnota stomatální vodivosti snížila na  $0,04 \text{ M CO}_2/\text{m}^2/\text{s}$  (24 h). Po 168 hodinách byl zaznamenán na opak nárůst hodnot stomatální vodivosti ( $0,036 \text{ M CO}_2/\text{m}^2/\text{s}$ ), který byl po 240 h vystřídán opětovným poklesem na  $0,01 \text{ M CO}_2/\text{m}^2/\text{s}$ .



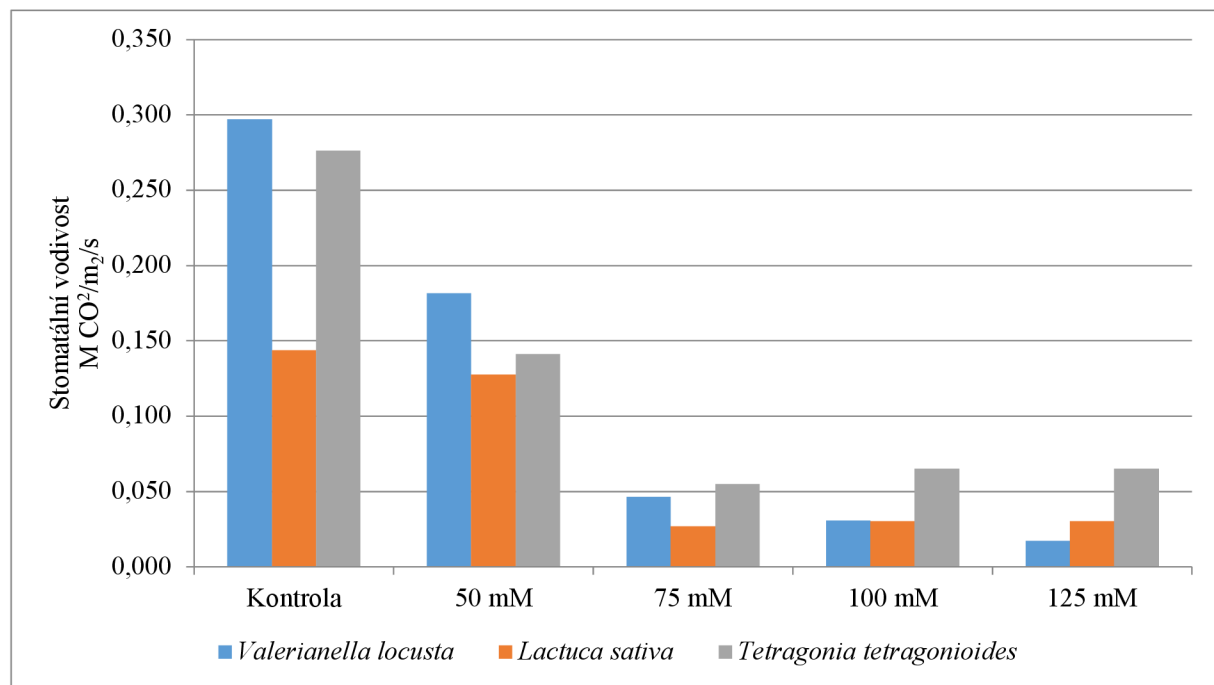
Graf 8 Změny hodnot stomatální vodivosti *Lactuca sativa* [ $\text{M CO}_2/\text{m}^2/\text{s}$ ] v závislosti na koncentraci  $\text{NaCl}$  a čase.

Graf 9 znázorňuje změny hodnot stomatální vodivosti u rostlin čtyřboče stresovaných zasolením. Z něho je patrné, že maximální hodnoty dosáhla kontrolní varianta po 240 h ( $0,893 \text{ M CO}_2/\text{m}^2/\text{s}$ ). Naopak nejnižší hodnoty vykazuje kontrolní varianta v termínu 168 h ( $0,094 \text{ M CO}_2/\text{m}^2/\text{s}$ ). Obdobný trend změn hodnot stomatální vodivosti v porovnání s kontrolou vykazují rostlinky z varianty 50 mM NaCl. U této varianty byla stomatální vodivost v intervalu hodnot ( $0,059 \text{ M CO}_2/\text{m}^2/\text{s}$ ) až ( $0,293 \text{ M CO}_2/\text{m}^2/\text{s}$ ). Se zvyšující se koncentrací soli docházelo k postupnému poklesu hodnot stomatální vodivosti u zbývajících variant pokusu. V rámci těchto variant byla nejnižší hodnota otevřenosti průduchů stanovena  $0,022 \text{ M CO}_2/\text{m}^2/\text{s}$  (240 h). Na straně druhé nejvyšší hodnota vodivosti byla ve výši  $0,075 \text{ M CO}_2/\text{m}^2/\text{s}$  (336 h).



Graf 9 Změny hodnot stomatální vodivosti *Tetragonia tetragonoides* [ $\text{M CO}_2/\text{m}^2/\text{s}$ ] v závislosti na koncentraci NaCl a čase.

Graf 10 demonstruje vliv varianty v rámci sledovaných rostlin na hodnoty stomatální vodivosti. Z grafu vyplývá, že nejvýraznější rozdíl mezi varianty vykazují rostliny polníčku, kdy rozdíl mezi kontrolní variantou a variantou stresovanou 125 mM NaCl činil 94 %. Rozdíl u rostlin čtyřboče v rámci těchto variant byl 74 % a u rostlin salátu 73 %. Z výsledků je patrné, že nejcitlivěji reagovaly rostliny polníčku a nejméně citlivě reagovaly rostliny salátu.

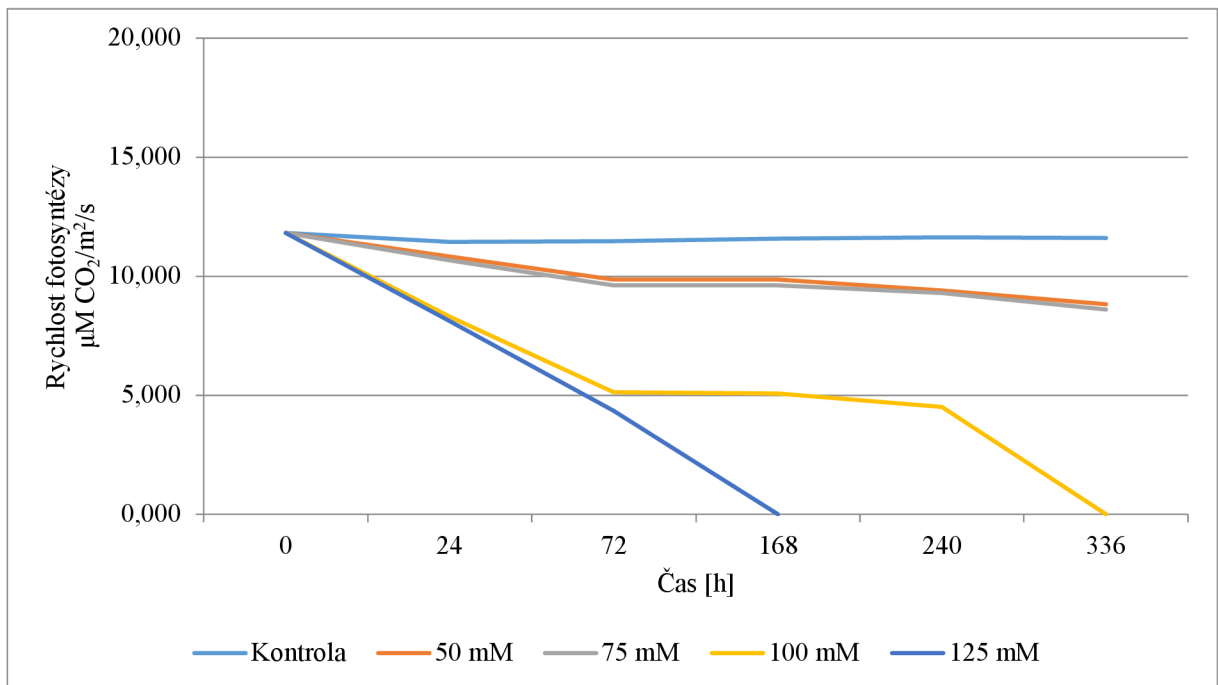


Graf 10 Rozdíly stomatální vodivosti v závislosti na rostlinném druhu a koncentraci NaCl [ $M CO_2/m^2/s$ ].

### 5.3 Rychlosť fotosyntézy

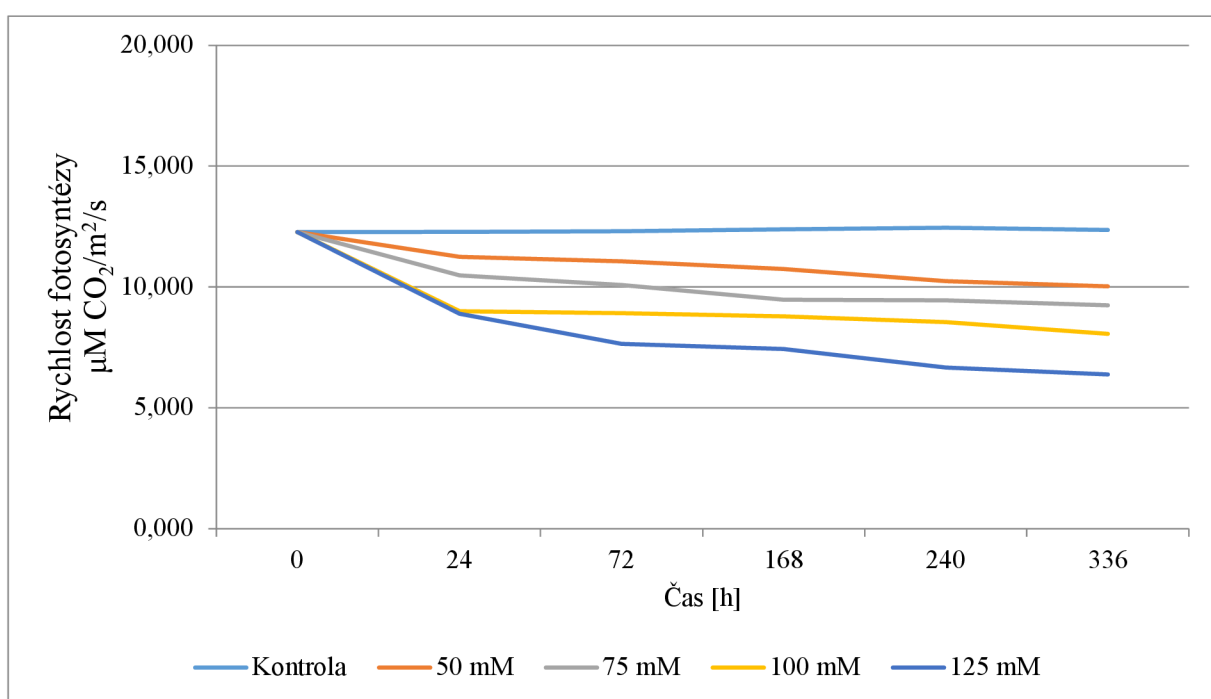
Graf 11 znárodnuje rychlosť fotosyntézy polníčku. Je patrné, že polníček citlivě reagoval na zvýšenou koncentraciu soli v prostredí, neboť u nejvyšších koncentrácii bylo zaznamenané odumrenie rostlin.

U rostlin z kontrolných podmínek byla nejvyšší fotosyntéza stanovena v den založení pokusu ( $11,817 \mu\text{M CO}_2/\text{m}^2/\text{s}$ ) a naopak nejnižší po 24 h od jeho založení ( $11,441 \mu\text{M CO}_2/\text{m}^2/\text{s}$ ). Toto sníženie bylo vyštíráno zvýšením rychlosť fotosyntézy na hodnotu  $11,623 \mu\text{M CO}_2/\text{m}^2/\text{s}$  v termínu 240 h U rostlin rostoucích v koncentracii soli  $50 \text{ mM}$  se fotosyntéza postupne snížovala z počáteční hodnoty ( $11,817 \mu\text{M CO}_2/\text{m}^2/\text{s}$ ) na konečnou hodnotu ( $8,822 \mu\text{M CO}_2/\text{m}^2/\text{s}$ ). Podobný trend byl zaznamenaný u rostlin rostoucích v prostredí s  $75 \text{ mM NaCl}$ , jak dokumentuje graf 11. Z něho je patrný pokles fotosyntézy od dne založení ( $11,817 \mu\text{M CO}_2/\text{m}^2/\text{s}$ ) až do měření, které se uskutečnilo po 336 h ( $8,601 \mu\text{M CO}_2/\text{m}^2/\text{s}$ ).



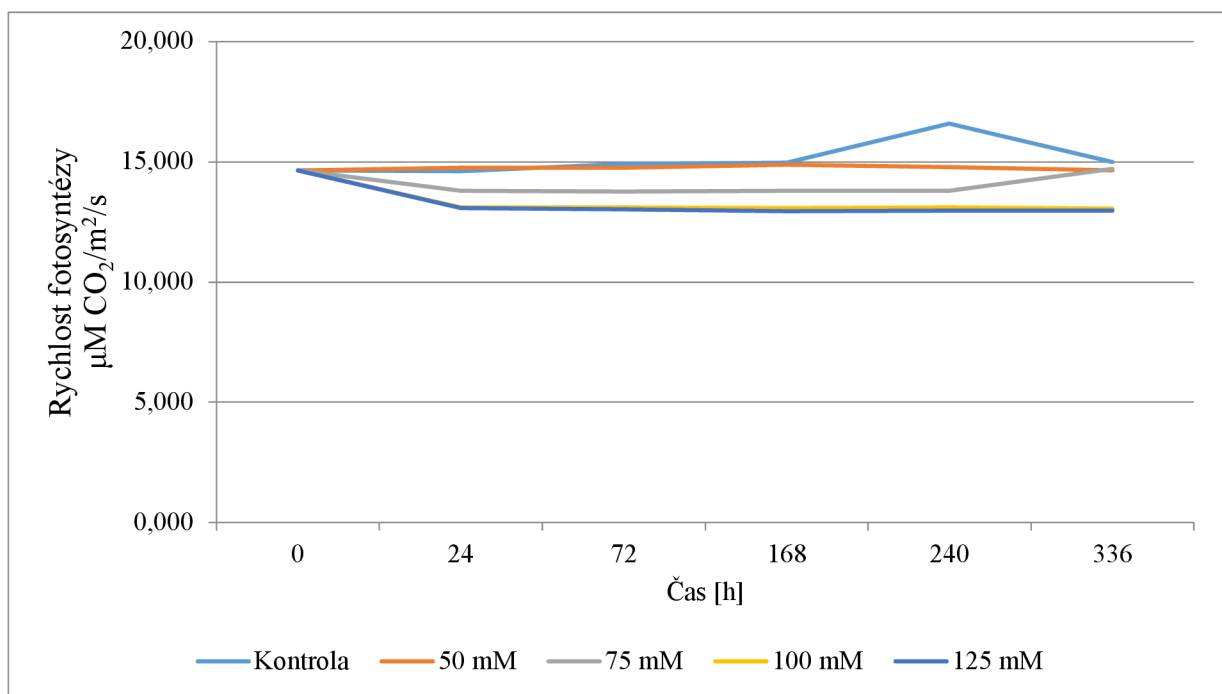
Graf 11 Rychlosť fotosyntézy u druhu *Valerianella locusta* [ $\mu\text{M CO}_2/\text{m}^2/\text{s}$ ] v závislosti na koncentracii  $\text{NaCl}$  a čase.

Graf 12 popisuje změny rychlosti fotosyntézy salátu v závislosti na koncentraci NaCl a čase. Je patrné, že v případě kontrolních rostlin je rychlosť fotosyntézy vyrovnaná a pohybuje se v rozpětí hodnot  $12,277 \mu\text{M CO}_2/\text{m}^2/\text{s}$  (0 h) až  $12,457 \mu\text{M CO}_2/\text{m}^2/\text{s}$  (240 h). U varianty 50 mM NaCl byl zaznamenán pokles fotosyntézy po 24 h ( $11,264 \mu\text{M CO}_2/\text{m}^2/\text{s}$ ), snížení o 18 % v porovnání s počátkem pokusu. Shodně reagovaly také rostliny z varianty 75 mM NaCl, přičemž u těchto rostlin byl pokles rychlosť fotosyntézy mezi počátkem a koncem pokusu 25 % ( $\mu\text{M CO}_2/\text{m}^2/\text{s}$ ). U stresovaných variant 100 mM NaCl a 125 mM NaCl byl také naměřen pokles fotosyntézy po 24 h, který činil 27 %. U varianty 100 mM NaCl rychlosť fotosyntézy klesala pozvolna až na konečnou hodnotu naměřenou po 336 h -  $8,065 \mu\text{M CO}_2/\text{m}^2/\text{s}$ .



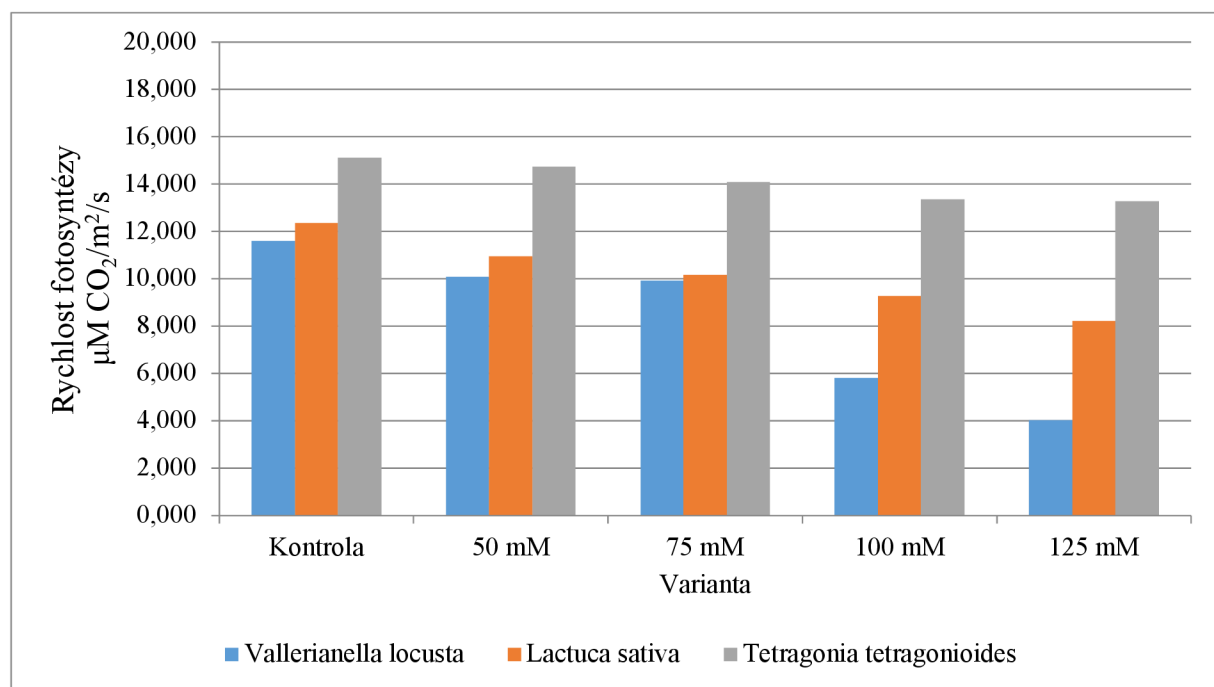
Graf 12 Rychlosť fotosyntézy u druhu *Lactuca sativa* [ $\mu\text{M CO}_2/\text{m}^2/\text{s}$ ] v závislosti na koncentraci NaCl a čase.

Graf 14 dokládá hodnoty rychlosti fotosyntézy čtyřboče. Z grafu je patrné, že stabilní změny hodnot fotosyntézy měla stresovaná varianta 50 mM NaCl. Od dne založení pokusu (14,641  $\mu\text{M CO}_2/\text{m}^2/\text{s}$ ) do 168 h se rychlosť fotoyntrézy zvyšovala až na maximum (14,882  $\mu\text{M CO}_2/\text{m}^2/\text{s}$ ). Tento nárůst byl vystřídán poklesem rychlosti fotosyntézy na hodnotu 14,643  $\mu\text{M CO}_2/\text{m}^2/\text{s}$  naměřenou poslední den. U kontrolní varianty byly naměřeny nejnižší hodnoty fotosyntézy po 24 h (14,611  $\mu\text{M CO}_2/\text{m}^2/\text{s}$ ) a naopak nejvyšší fotosyntéza byla po 240 h (16,591  $\mu\text{M CO}_2/\text{m}^2/\text{s}$ ). U variant stresovaných 100 mM NaCl a 125 mM NaCl byl po 24 h zaznamenán shodný pokles o 11 %. U varianty 100 mM NaCl byla nejnižší fotosyntéza naměřena při posledním odběru (13,055  $\mu\text{M CO}_2/\text{m}^2/\text{s}$ ). U varianty stresované 125 mM NaCl byla zaznamenána nejnižší hodnota po 168 h (12,947  $\mu\text{MCO}_2/\text{m}^2/\text{s}$ ).



Graf 13 Rychlosť fotosyntézy u druhu *Tetragonia tetragonoides* [ $\mu\text{M CO}_2/\text{m}^2/\text{s}$ ] v závislosti na koncentraci NaCl a čase.

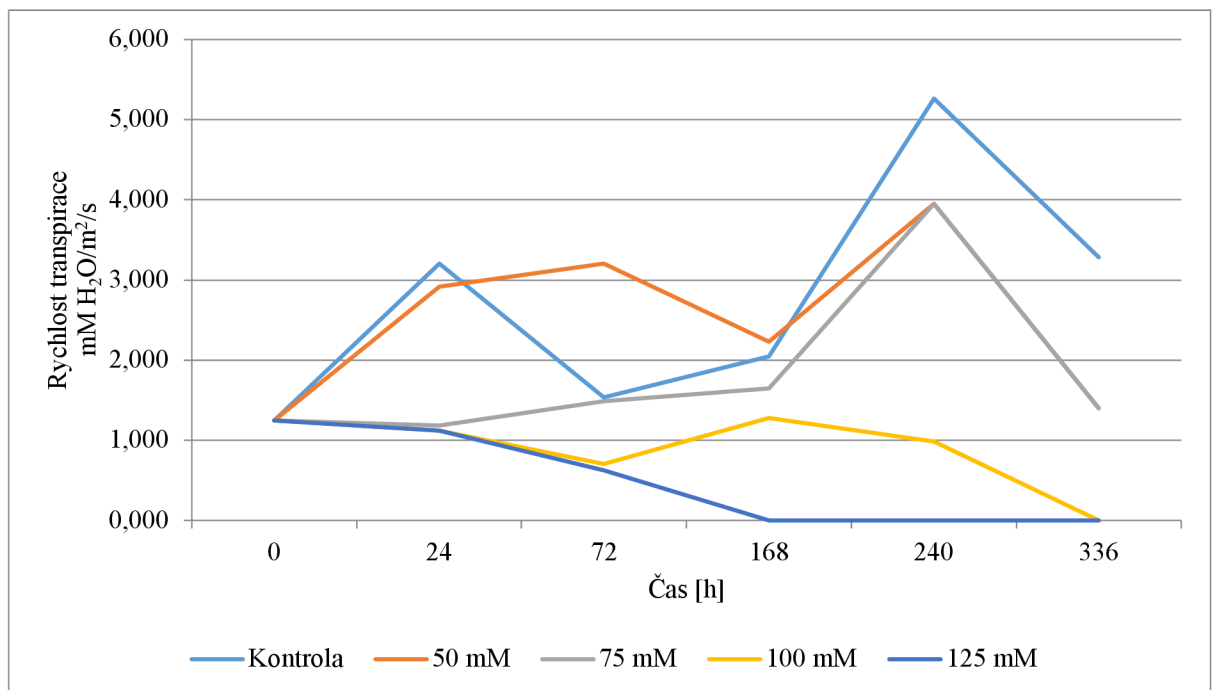
Graf 14 shrnuje vliv druhu rostliny a varianty pokusu na rychlosť fotosyntézy. Z tohto grafu vyplývá, že shodně se stomatální vodivostí byl nejvýraznější pokles rychlosť fotosyntézy u rostlin polníčku, který vykazoval snížení rychlosť fotosyntézy v porovnání kontrolní varianty a varianty stresované 125 mM NaCl o 65 %. U rostlin salátu byl pokles rychlosť fotosyntézy o 48 %. U rostlin čtyřboče byl tento pokles 14 %. Z grafu 14 tedy vyplývá, že na zasolení nejcitlivěji reagovaly rostliny polníčku a jako tolerantní se jeví rostliny čtyřboče.



Graf 14 Rozdíly v rychlosťi fotosyntézy v závislosti na rostlinmém druhu a koncentraci NaCl [ $\mu\text{M CO}_2/\text{m}^2/\text{s}$ ].

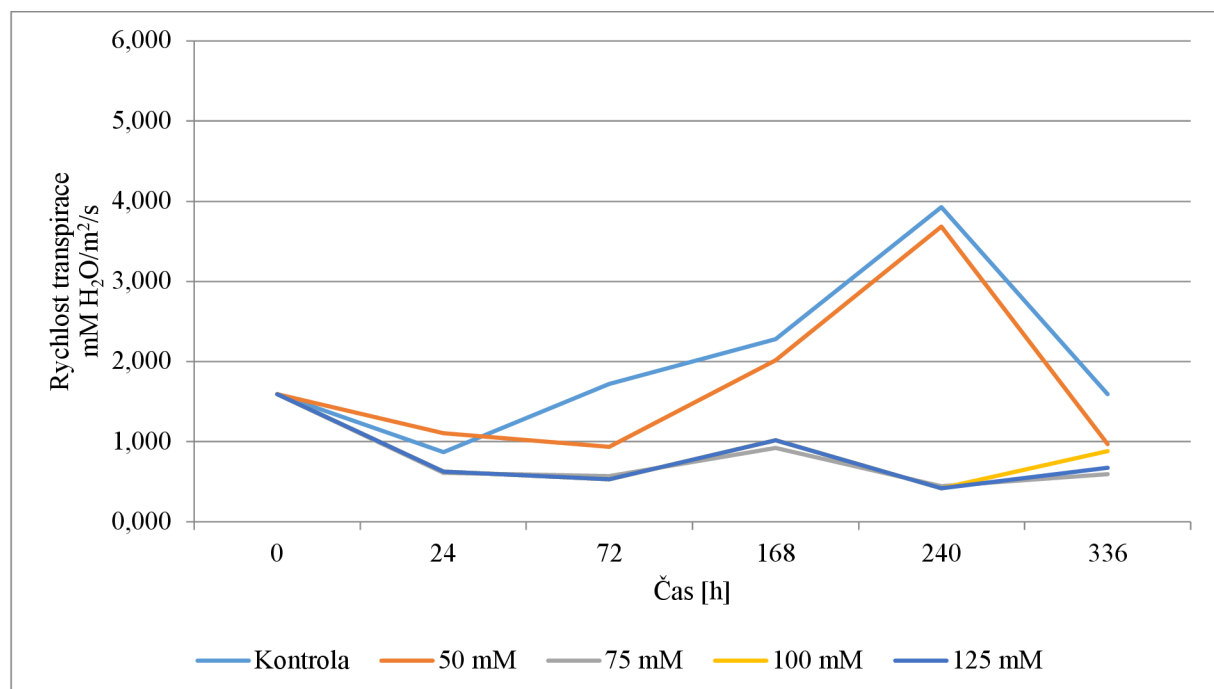
## 5.4 Rychlosť transpiracie

Graf 15 dokládá změny rychlosťi transpiracie u rostlin polníčku v závislosti na koncentraci NaCl a dĺžce pôsobení stresoru. Z grafu 15 je patrné, že nejcitlivěji reagovaly rostliny stresované koncentracemi 100 mM NaCl a 125 mM NaCl, kdy v průběhu pokusu bylo zaznamenáno odumřenie rostlin. U kontrolnej varianty byla nejvyšší hodnota transpiracie stanovena 240 h od založenia pokusu ( $5,263 \text{ mM H}_2\text{O/m}^2/\text{s}$ ). Nejnižší hodnota byla zaznamenána v den založenia pokusu ( $1,247 \text{ mM H}_2\text{O/m}^2/\text{s}$ ). U varianty 50 mM NaCl během 72 h byl zaznamenaný nárast rychlosťi transpiracie na hodnotu  $3,208 \text{ mM H}_2\text{O/m}^2/\text{s}$ . Toto zvýšení vystřídal pokles rychlosťi transpiracie naměřený po 168 h ( $0,936 \text{ mM H}_2\text{O/m}^2/\text{s}$ ). Po 240 h od založenia pokusu rychlosť transpiracie dosáhla svého maxima ( $3,951 \text{ mM H}_2\text{O/m}^2/\text{s}$ ), tento nárast vystřídal pokles o 65 %. U varianty 75 mM NaCl po 24 h nastal pokles rychlosťi transpirace ( $1,184 \text{ mM H}_2\text{O/m}^2/\text{s}$ ), kterou vystřídal lineárni nárast hodnot až do 4. odběru ( $1,648 \text{ mM H}_2\text{O/m}^2/\text{s}$ ). Maximální hodnota byla naměřena po 240 h ( $3,951 \text{ mM H}_2\text{O/m}^2/\text{s}$ ) naproti tomu nejnižší hodnota byla zaznamenána po 24 h ( $1,184 \text{ mM H}_2\text{O/m}^2/\text{s}$ ).



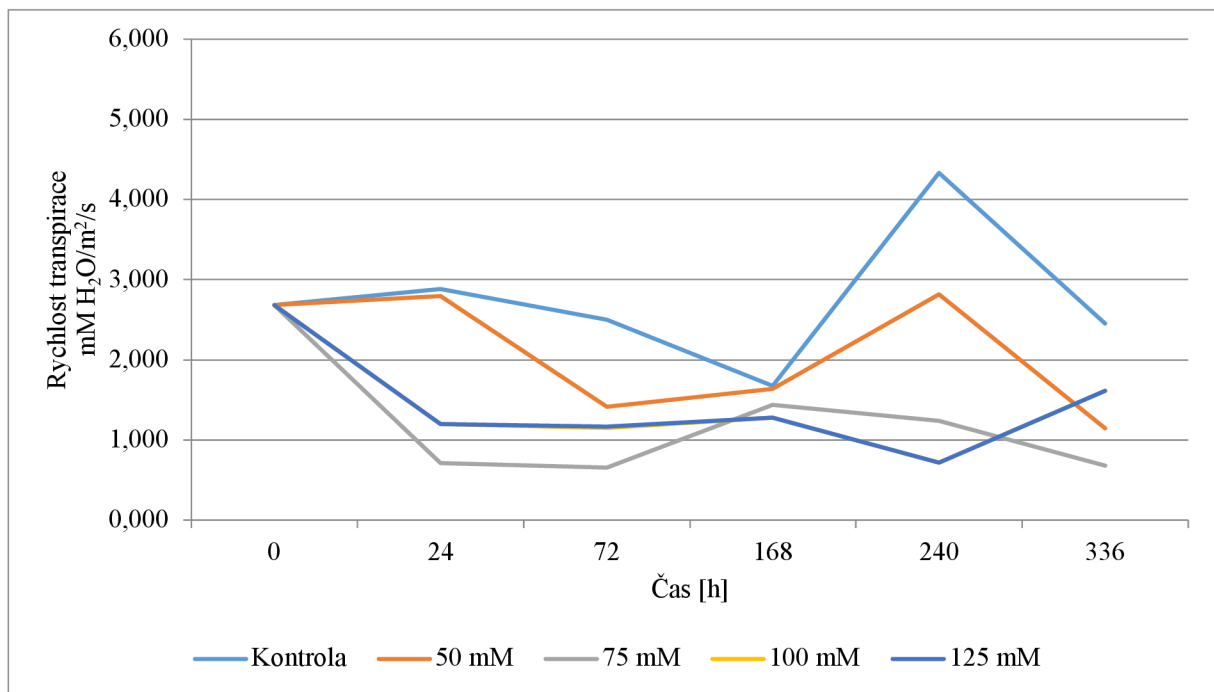
Graf 15 Rychlosť transpiracie u rostlin *Valerianella locusta* [ $\text{mM H}_2\text{O/m}^2/\text{s}$ ] v závislosti na koncentraci NaCl a čase.

Graf 16 popisuje změny rychlosti transpirace u rostlin salátu v závislosti na koncentracích NaCl. V případě kontrolní varianty, u které byla naměřena nejnižší hodnota transpirace po 24 h ( $0,87 \text{ mM H}_2\text{O/m}^2/\text{s}$ ), kdežto na jeho začátku byla transpirace ve výši  $1,593 \text{ mM H}_2\text{O/m}^2/\text{s}$ . Maximální hodnota transpirace byla zjištěna po 240 h ( $3,927 \text{ mM H}_2\text{O/m}^2/\text{s}$ ). Tento nárust vystřídal 59% pokles. U varianty  $50 \text{ mM NaCl}$  byl zaznamenán lineární pokles transpirace po dobu 72 h až na nejnižší naměřenou hodnotu ( $0,936 \text{ mM H}_2\text{O/m}^2/\text{s}$ ). Tento pokles vystřídal její výrazný nárust až na hodnotu  $3,684 \text{ mM H}_2\text{O/m}^2/\text{s}$ , který byl opět vystřídán poklesem v důsledku uzavření průduchů. Změny rychlosti transpirace u ostatních variant byly shodné až do 240 hodin od zahájení pokusu. Po 72 h byla u všech variant zazanemenána nejnižší transpirace v rámci sledovaného časového údobí ( $0,535 \text{ mM H}_2\text{O/m}^2/\text{s}$ ). Navýšení hodnot transpirace bylo poté zaznamenáno po 168 hodinách, kdy naměřený inetravl činil  $0,921 \text{ mM H}_2\text{O/m}^2/\text{s}$  ( $75 \text{ mM NaCl}$ ) až  $1,018 \text{ mM H}_2\text{O/m}^2/\text{s}$  u variant  $100$  a  $125 \text{ mM NaCl}$ .



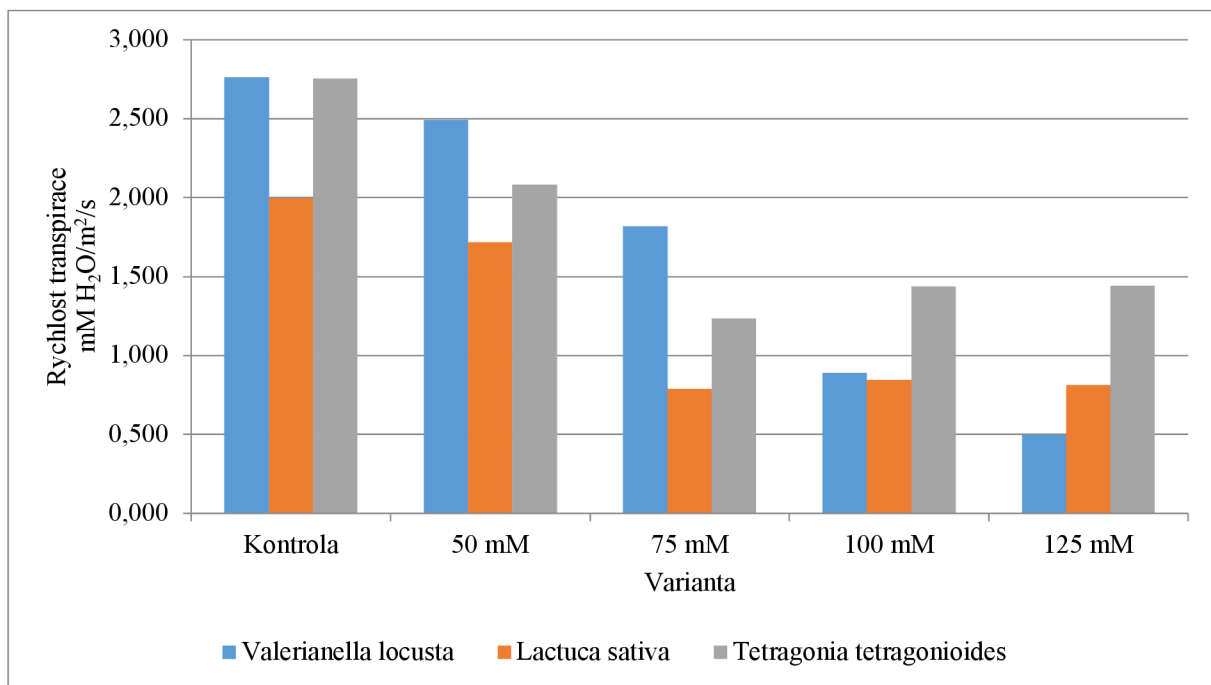
Graf 16 Rychlosť transpiracie u rostlin *Lactuca sativa* [ $\text{mM H}_2\text{O/m}^2/\text{s}$ ] v závislosti na koncentraci  $\text{NaCl}$  a čase.

Z grafu 17 jsou uvedeny změny transpirace v závislosti na koncentraci soli a délce působení stresoru na rostliny čtyřboče. Z naměřených hodnot vyplývá shodný průběh u variant 100 mM NaCl a 125 mM NaCl po celou dobu měření. Po 24 h od začátku měření (2,681 mM H<sub>2</sub>O/m<sup>2</sup>/s) se rychlosť transpirace u těchto variant snížila o 55 %. Po 240 hodinách působení stresoru byly zjištěna nejnižší hodnota transpirace ze všech měření (0,717 mM H<sub>2</sub>O/m<sup>2</sup>/s). Varianta 75 mM NaCl měla nejvýraznější pokles rychlosti transpirace o 73 % v 2. termínu měření. Po 168 hodinách rychlosť transpirace u této varianty dosáhla svého maxima (1,434 mM H<sub>2</sub>O/m<sup>2</sup>/s), poté až do konce měření transpirace postupně klesala až na hodnotu 0,677 mM H<sub>2</sub>O/m<sup>2</sup>/s. Varianta 50 mM NaCl dosáhla maximální transpirace po 240 h od založení pokusu (2,817 mM H<sub>2</sub>O/m<sup>2</sup>/s) a naopak nejnižší transpirace byla zaznamenána po 336 h (1,145 mM H<sub>2</sub>O/m<sup>2</sup>/s). Kontrolní varianta dosáhla minimální hodnoty rychlosti transpirace po 168 h (1,675 mM H<sub>2</sub>O/m<sup>2</sup>/s) a na straně druhé maximální transpirace činila 4,332 mM H<sub>2</sub>O/m<sup>2</sup>/s (240 h).



Graf 17 Rychlosť transpirace u rostlin *Tetragonia tetragonoides* [mM H<sub>2</sub>O/m<sup>2</sup>/s] v závislosti na koncentraci NaCl a čase.

Graf 18 shrnuje vliv rostliny a varianty pokusu na rychlosť transpiracie. Z tohto grafu vyplýva, že shodne se stomatální vodivostí a fotosyntézou byl nejvýraznější pokles rychlosti transpirace u rostlin polníčku, který vykazoval snížení rychlosti transpirace v porovnání kontrolní varianty a varianty stresované 125 mM NaCl, o 82 %. U rostlin salátu byl pokles rychlosti transpirace o 60 %. U rostlin čtyřboče tento pokles byl 48 %. Z grafu 18 je patrné, že na zasolení nejcitlivěji reagovaly rostliny polníčku a jako tolerantní se jeví rostliny čtyřboče.



Graf 18 Rozdíly v rychlosťi transpirace v závislosti na rostlinném druhu a koncentraci NaCl [mM H<sub>2</sub>O/m<sup>2</sup>/s].

## 6 Diskuse

V pokusu byly pěstovány vybrané druhy listové zeleniny: *Valerianella locusta*, *Lactuca sativa* a *Tetragonia tetragonoides*. U uvedených druhů byl sledován vliv salinity na obsah fotosynteticky aktivních pigmentů, stomatální vodivost, rychlosť fotosyntézy a transpirace.

### 6.1 Fotosynteticky aktivní pigmenty

Z uvedených výsledků obsahu karotenoidů vyplývá, že salinita neměla v průběhu měření na obsah karotenoidů v listové zelenině výrazný vliv. V porovnání s kontrolními variantami obsahovaly stresované varianty méně karotenoidů. Sarker a Oba (2018) sledovali obsah fotosynteticky aktivních pigmentů u druhu *Amaranthus tricolor* a uvádí, že se s vyšší koncentrací NaCl obsah karotenoidů zvyšoval. Uvedený závěr nebyl u juvenilních rostlin zelenin potvrzen, neboť se zvyšující se koncentrací soli se obsah karotenoidů snižoval. Patrně je to způsobené tím, že se jednalo o juvenilní rostlinky.

Shodné závěry potvrzují i Leiva-Ampurero et al. (2020), kteří sledovali obsah karotenoidů v plodech rajčat rostoucích v zasolené půdě. Měřili obsah karotenoidů v nezralých rajčetech a zjistili, že se s vyššující koncentrací NaCl zvyšuje i obsah karotenoidů v nezralých rajčetech. Tento trend se potvrdil až do koncentrace 120 mM NaCl, u koncentrace 160 mM NaCl se obsah karotenoidů snížil oproti variantě 120 mM NaCl. Měření u zralých plodů rajčat ukázalo, že se s vyšší koncentrací NaCl v půdě zvyšuje i obsah karotenoidů ve zralých plodech. S výjimkou koncentrace 80 mM NaCl, která vykazovala nižší hodnoty než kontrolní varianta.

Naproti tomu Al-Huqail et al. (2020) sledovali účinek vodního stresu na obsah karotenoidů u bazalky. U varianty stresované suchem byl zaznamenán výrazný pokles obsahu karotenoidů v listech. Obdobné výsledky potvrzují také Behzadi Rad et al. (2021), kteří sledovali vliv zasolení na obsah karotenoidů v listech u 3 různých odrůd podnoží u pistácie. Zjistili, že se bez ohledu na odrůdu se s vyšší koncentrací NaCl v prostředí obsah karotenoidů v listech snižuje. Obdobný trend byl zaznamenán v případě zasolení u juvenilních rostlin listové zeleniny. Shodně byly potvrzeny závěry Saker a Oba (2018).

Lim et al. (2012) sledovali důsledky salinity na pohankové klíčky. Zjistili, že pohankové klíčky pěstované v koncentracích 50 mM NaCl a 100 mM NaCl obsahovaly dvakrát více karotenoidů a nutričních látek než klíčky pěstované v kontrolních podmínkách.

U vybraných druhů zelenin dochází ke změnám v obsahu chlorofylů, kdy celkový obsah chlorofylu se snižuje v závislosti na koncentraci. Uvedené výsledky potvrzují ve své práci

např. Spyropoulos a Mavrommatis (1978), kteří sledovali obsah pigmentů v listech dubu. Během sledování změn celkového obsahu chlorofylů bylo zjištěno, že u rostlin čtyřboče dochází během působení stresu, k postupnému snižování obsahu chlorofylů. Shodné výsledky uvádějí i Ashraf et al. (2000), kteří sledovali vliv salinity na různé genotypy rýže a zjistili, že je rýže velmi citlivá na zasolení.

Dle výsledků Giordano et al. (2021) vlivem tepelného stresu, sucha a stresu ze zasolení na různé druhy zeleniny, dochází u rokety se ke zvýšení obsahu chlorofylů v listech. Tento závěr nebyl potvrzen u vybraného sortimentu zelenin, kdy naopak byl zaznamenán pokles chlorofylů. Naproti tomu v listech perilly se obsah chlorofylů v listech se zvyšující se koncentrací soli zvyšoval. Obdobné výsledky potvrzují i Šamec a kol (2021), kteří sledovali vliv salinity na obsah chlorofylu na modelových rostlinách čínského zelí, bílého zelí a kapustě. Z jejich výsledků vyplývá rozdílná mezidruhová reakce rostlin na zasolení, kdy se u rostlin kapusty obsah chlorofylů vlivem salinity zvyšoval a na straně druhé u rostlin bílého a čínského zelí naopak snižoval.

Chourasia et al. (2022) sledovali vliv salinity na obsah chlorofylu u kořenové zeleniny, kdy zjistili snížení obsahu chlorofylu v listech u kořenové zeleniny. Mezidruhové rozdíly v obsahu chlorofylů byly zjištěny také u sledovaných druhů zelenin.

## 6.2 Stomatální vodivost

V rámci pokusu nebyly zjištěny rozdíly hodnot stomatální vodivosti u kontrolních rostlin. Obecně bylo zaznamenáno snížení hodnot stomatální vodivosti u rostlin stresovaných koncentracemi 75–125 mMol. Tento trend byl potvrzen u všech pokusných rostlin. Snížení hodnoty stomatální vodivosti uvádí i Osakabe et al. (2014), kteří sledovali vliv vodního deficitu na hodnoty stomatální vodivosti.

Vliv salinity na stomatální vodivost sledovali také Lotfi et al. (2020), u klíčků fazole Mungo, kteří uvedený závěr potvrzují. Získané výsledky a závěry se též shodují s prací Hassan (2004), který sledoval vliv salinity a znečištění ozonem na stomatální vodivost u pšenice. Dle uvedeného autora salinita snižuje rychlosť stomatální vodivosti. Obdobné konstatování potvrzují také Nemeskéri a Helyes (2019), kteří sledovali vliv vodního deficitu na rostliny zeleného hrášku a rajčete a Maksimović et al. (2010), kteří sledovali vliv salinity na rostlinách hrachu. Oproti tomu Hirich et al. (2014) sledovali vliv salinity na rostliny cizrnou a quinoy, kdy zjistili mezidruhový rozdíl v reakci na zasolení. Uvedený závěr je v souladu se

získanými výsledky, kdy jako citlivý na zasolení se jeví polníček a naopak jako tolerantní čtyřboč a hlávkový salát.

### 6.3 Rychlosť výmeny plynů

Jonet at al. (1990) uvádí, že rychlosť fotosyntézy po zatížení stresem klesá, shodný závěr byl získán i v porovnání vlivu zasolení na sledované druhy zelenin.

Bláha et al. (2016) konstatují, že pri porovnáni vlivu sucha na rostliny dochází ke sníženiu otevrenosti průduchu čímž je ovlivnena intenzita dýchania, fotosyntézy. I toto konstatovavanie bolo potvrzeno získanými výsledkami. Z práce Kočové et al. (2009) je patrné, že intenzita fotosyntézy je úmerná transpiraci. Mezi fotosyntézou a transpirací nebyla zjištenea pŕímá úmiera poklesu hodnot, preto lze konstatovať, že oba tyto parametry jsou stresem ovlivnený. Naproti tomu Neocleous et al. (2018), sledovali vliv salinity na rostliny baby salátu a uvádajú, že s se zvýšením koncentracie soli snižuje rychlosť fotosyntézy. Uvedený trend bol zjištene také u sledovaných druhov listové zeleniny.

Yousis et al. (2010) porovnávali rozdiel v tolerancii salinity u čtyřboče a povíjnice vodnej. Z jejich výsledkov vyplýva, že čtyřboč je halofytnej rostlinou, neboť ve vyšších koncentraciach NaCl rostliny rychleji rastu na rozdiel od rostlin povíjnice. Zároveň sa však snižovala rychlosť výmeny plynov u obou druhov.

Eisa et al. (2012) sledovali vliv salinity na quinou. Z jejich výsledkov vyplýva, že rychlosť výmeny plynov u quinoy se s vyšší koncentraciou NaCl snižuje. Shodné výsledky Hussin et al. (2013), ktorí sledovali vliv zasolenia na *Atriplex nummularia* (L.).

Z výsledkov pokusu je patrné, že salinita snižuje rychlosť transpiracie u všetkých sledovaných druhov všetkých stresovaných variantach. To dokladá i Jabeen et al. (2008), ktorí sledovali vodný deficit u kukuřice. Sníženie transpiracie v rámci vodného deficitu uvádajú také Shan (2006). Získané výsledky sú v souladu s témoto pracemi, neboť stres zasolením sekundárne zpôsobuje vodný deficit. Obdobne boli potvrzeny výsledky Neocleous et al. (2018), ktorí sledovali vliv salinity na rostliny baby salátu.

## 7 Závěr

Cílem této práce bylo zjistit, jaký vliv má zasolení na vybrané druhy listové zeleniny, byly vybrány druhy *Valerianella locusta*, *Lactuca sativa* a *Tetragonia tetragonoides*. Z výsledků vyplývají následující závěry:

- Pro rostliny druhu *Valerianella locusta* jsou toxicke zvýšené koncentrace NaCl, především 100 a 125 mM NaCl.
- Solný stres způsobuje změny v obsahu celkových chlorofylů, kdy nejnižší obsah chlorofylů vykazují rostlinky polníčku z varianty 100 mM NaCl ( $4,770 \text{ nM/cm}^2$ ), naměřené po 240 h, a naopak nejvyšší obsah chlorofylů vykazují rostlinky čtyřboče v případě varianty 50 mM NaCl 24 h ( $12,807 \text{ nM/cm}^2$ ).
- Nejvyšší obsah karotenoidů vykazoval čtyřboč v případě varianty 100 mM NaCl a 24 h od založení pokusu ( $2,835 \text{ nM/cm}^2$ ). Na druhé straně nejnižší obsah karotenoidů vykazovaly rostlinky polníčku v případě varianty 100 mM NaCl, 240 h ( $0,940 \text{ nM/cm}^2$ ).
- Nejvyšší obsah pigmentů měl čtyřboč ( $14,972 \text{ nM/cm}^2$ ). Naopak nejnižší obsah pigmentů kozlíček ( $10,298 \text{ nM/cm}^2$ ).
- Druhy *Lactuca sativa* a *Tetragonia tetragonoides* lze zařadit do skupiny rostlin, které jsou tolerantní k zasolení.
- Naopak druh *Valerianella locusta* lze zařadit do skupiny rostlin citlivých k zasolení.
- Solný stres způsobuje snížení rychlosti fotosyntézy, kdy nejnižší rychlosť vykazoval polníček v případě varianty 125 mM NaCl ( $4,045 \mu\text{M CO}_2/\text{m}^2/\text{s}$ ). Na straně druhé nejvyšší hodnoty vykazoval čtyřboč v případě varianty 50 mM NaCl ( $14,745 \mu\text{M CO}_2/\text{m}^2/\text{s}$ ).
- V případě rychlosti transpirace u polníčku byly nejnižší hodnoty zaznamenány u varianty 125 mM NaCl ( $0,499 \text{ mM H}_2\text{O}/\text{m}^2/\text{s}$ ).
- U rostlin salátu a čtyřboče byla rychlosť transpirace nejnižší u varianty 75 mM NaCl ( $0,788 \text{ mM H}_2\text{O}/\text{m}^2/\text{s}$ ) v případě rostlin salátu a ( $1,233 \text{ mM H}_2\text{O}/\text{m}^2/\text{s}$ ) v případě rostlin čtyřboče.
- Nejnižší hodnoty stomatální vodivosti vykazovaly rostlinky polníčku u varianty 125 mM NaCl ( $0,017 \text{ M CO}_2/\text{m}^2/\text{s}$ ).
- U rostlin salátu a čtyřboče, jako v případě rychlosti transpirace, byly zaznamenány nejnižší hodnoty u koncentrace 75 mM NaCl, v případě salátu byla tato hodnota  $0,027 \text{ M CO}_2/\text{m}^2/\text{s}$  a v případě čtyřboče tato hodnota byla  $0,055 \text{ M CO}_2/\text{m}^2/\text{s}$ .

- Byla potvrzena hypotéza o existenci rozdílů v měřených fyziologických charakteristikách v závislosti na koncentraci soli a délce jejího působení.
- Byly potvrzeny mezidruhové rozdíly v reakci rostlin na salinitu.

## 8 Literatura

Ashraf, M., & Harris, P. (Ed.). (2005). Abiotic stresses: plant resistance through breeding and molecular approaches. CRC press.

Ashraf, M. Y., & Bhatti, A. S. (2000). Effect of salinity on growth and chlorophyll content in rice. *Biological Sciences-PJSIR*, 43(2), 130-131.

Beek, K. J., Blokhuis, W. A., Driessen, P. M., Breemen, N. V., Brinkman, R., & Pons, L. J. (1980). Problem soils: their reclamation and management. Land reclamation and water management. Developments, problems and challenges, 9-72.

Borghesi, E., González-Miret, M. L., Escudero-Gilete, M. L., Malorgio, F., Heredia, F. J., & Meléndez-Martínez, A. J. (2011). Effects of salinity stress on carotenoids, anthocyanins, and color of diverse tomato genotypes. *Journal of Agricultural and Food Chemistry*, 59(21), 11676-11682.

Bláha, L., & Středa, T. (2016). Plant Integrity—the important factor of adaptability to stress conditions. In *Abiotic and Biotic Stress in Plants-Recent Advances and Future Perspectives*. IntechOpen.

Bláha, L., Kohout, L., Hnilicka, F., Gottwaldová, P., Kadlec, P., & Jankovská, P. (2005). The effect of environmental factors on the traits of seeds. *Scientia Agriculturae Bohemica* (Czech Republic).

Chourasia, K. N., More, S. J., Kumar, A., Kumar, D., Singh, B., Bhardwaj, V., ... & Lal, M. K. (2022). Salinity responses and tolerance mechanisms in underground vegetable crops: An integrative review. *Planta*, 255(3), 1-25.

Čermák, J., Deml, M., & Penka, M. (1973). A new method of sap flow rate determination in trees. *Biologia plantarum*, 15(3), 171-178.

Danihelka, J., & Šmarda, P. (2001). *Triglochin maritima na Slanisku u Nesytu*. Zprávy České botanické společnosti, (1).

Di Mola, I., Cozzolino, E., Ottaiano, L., Nocerino, S., Rousphael, Y., Colla, G., ... & Mori, M. (2020). Nitrogen use and uptake efficiency and crop performance of baby spinach (*Spinacia oleracea* L.) and Lamb's Lettuce (*Valerianella locusta* L.) grown under variable sub-optimal N regimes combined with plant-based biostimulant application. *Agronomy*, 10(2), 278.

Eisa, S., Hussin, S., Geissler, N., & Koyro, H. W. (2012). Effect of NaCl salinity on water relations, photosynthesis and chemical composition of Quinoa ('Chenopodium quinoa'Willd.) as a potential cash crop halophyte. *Australian Journal of Crop Science*, 6(2), 357-368.

Giordano, M., Petropoulos, S. A., & Rousphael, Y. (2021). Response and defence mechanisms of vegetable crops against drought, heat and salinity stress. *Agriculture*, 11(5), 463.

Goodwin, S. M., & Jenks, M. A. (2005). Plant cuticle function as a barrier to water loss. *Plant abiotic stress*, 14-36.

Gopalakrishnan, T. R. (2007). Vegetable crops (No. 4). New india publishing. ISBN 81-89422-41-3

Mondal, S., Singh, R. P., Crossa, J., Huerta-Espino, J., Sharma, I., Chatrath, R., ... & Joshi, A. K. (2013). Earliness in wheat: a key to adaptation under terminal and continual high temperature stress in South Asia. *Field crops research*, 151, 19-26.

Hai-Jing, C., & He-Shan, S. (2006). Quantum secure direct communication with W state. *Chinese Physics Letters*, 23(2), 290.

Hassan, I. A. (2004). Interactive effects of salinity and ozone pollution on photosynthesis, stomatal conductance, growth, and assimilate partitioning of wheat (*Triticum aestivum* L.). *Photosynthetica*, 42(1), 111-116.

Hernández, V., Botella, M. Á., Hellín, P., Cava, J., Fenoll, J., Mestre, T., ... & Flores, P. (2021). Phenolic and carotenoid profile of lamb's lettuce and improvement of the bioactive content by preharvest conditions. *Foods*, 10(1), 188.

Hirich, A., Jelloul, A., Choukr-Allah, R., & Jacobsen, S. E. (2014). Saline water irrigation of quinoa and chickpea: seedling rate, stomatal conductance and yield responses. *Journal of Agronomy and Crop Science*, 200(5), 378-389.

Hussin, S., Geissler, N., & Koyro, H. W. (2013). Effect of NaCl salinity on *Atriplex nummularia* (L.) with special emphasis on carbon and nitrogen metabolism. *Acta Physiologiae Plantarum*, 35(4), 1025-1038.

Isayenkov, S. V., & Maathius, F. J. (2019) Plant salinity stress: many unanswered questions remain. *Frontiers in plant science*, 10, 80.

Jabeen, F., Shahbaz, M., & Ashraf, M. (2008). Discriminating some prospective cultivars of maize (*Zea mays* L.) for drought tolerance using gas exchange characteristics and proline contents as physiological markers. *Pak. J. Bot*, 40(6), 2329-2343.

Jones, H. P., Hole, D. G., & Zavaleta, E. S. (2012). Harnessing nature to help people adapt to climate change. *Nature Climate Change*, 2(7), 504-509.

Francisco-Ortega, J., Santiago-Valentín, E., Acevedo-Rodríguez, P., Lewis, C., Pipoly, J., Meerow, A. W., & Maunder, M. (2007). Seed plant genera endemic to the Caribbean Island biodiversity hotspot: a review and a molecular phylogenetic perspective. *The Botanical Review*, 73(3), 183-234.

Kočová, M., Holá, D., Wilhelmová, N., & Rothová, O. (2009). The influence of low-temperature on the photochemical activity of chloroplasts and activity of antioxidant enzymes in maize leaves. *Biologia Plantarum*, 53(3), 475-483.

Karel, K. (2010). *Zelenina ve výživě člověka*. Grada Publishing as.  
ISBN 978-80-247-2845-2.

Král, V. (Ed.). (1972). *Malý encyklopedický slovník: A-Ž*. Academia.s. 74. ISBN: 21-082-72

Lim, J. H., Park, K. J., Kim, B. K., Jeong, J. W., & Kim, H. J. (2012). Effect of salinity stress on phenolic compounds and carotenoids in buckwheat (*Fagopyrum esculentum* M.) sprout. *Food chemistry*, 135(3), 1065-1070.

Leiva-Ampuero, A., Agurto, M., Matus, J. T., Hoppe, G., Huidobro, C., Inostroza-Blancheteau, C., ... & Vega, A. (2020). Salinity impairs photosynthetic capacity and enhances carotenoid-related gene expression and biosynthesis in tomato (*Solanum lycopersicum* L. cv. Micro-Tom). *PeerJ*, 8, e9742.

Lotfi, R., Ghassemi-Golezani, K., & Pessarakli, M. (2020). Salicylic acid regulates photosynthetic electron transfer and stomatal conductance of mung bean (*Vigna radiata* L.) under salinity stress. *Biocatalysis and Agricultural Biotechnology*, 26, 101635.

Maksimović, I., Putnik-Delić, M., Gani, I., Marić, J., & Ilin, Ž. (2010). Growth, ion composition, and stomatal conductance of peas exposed to salinity. *Open Life Sciences*, 5(5), 682-691.

Mosa, K. A., Ismail, A., & Helmy, M. (2017). Plant stress tolerance: an integrated omics approach. Cham: Springer ISBN 978-3-319-59377-7.

Motková, K., Podlipná, R., Vaněk, T., & Kafka, Z. (2014). Halofytní rostliny a jejich možné využití ve fytoremediacích. *Chemické listy*, 108(6), 586-591.

Negrão, S., Schmöckel, S. M., & Tester, M. (2017). Evaluating physiological responses of plants to salinity stress. *Annals of botany*, 119(1), 1-11.

Nemeskéri, E., & Helyes, L. (2019). Physiological responses of selected vegetable crop species to water stress. *Agronomy*, 9(8), 447.

Neocleous, D., Koukounaras, A., Siomos, A. S., & Vasilakakis, M. (2018). Changes in photosynthesis, yield, and quality of baby lettuce under salinity stress.

Ors, S., Suarez, D. L. (2017). Spinach biomass yield and physiological response to interactive salinity and water stress. *Agricultural water management*, 190, 31-41.

Osakabe, Y., Osakabe, K., Shinozaki, K., & Tran, L. S. P. (2014). Response of plants to water stress. *Frontiers in plant science*, 5, 86.

Procházka, S. (1998). Fyziologie rostlin. Academia.

Prokinová, E. (2014). Abiotikózy rostlin: poruchy, poškození a poranění–Plant abioticosis: disorders, damage and injuries. *Plant Protection Science*, 50(2), 111.

Rajendran, K., Tester, M., & Roy, S. J. (2009). Quantifying the three main components of salinity tolerance in cereals. *Plant, cell & environment*, 32(3), 237-249.

Rosypal, S., Přehled biologie. Praha: Scientia 1994. ISBN 80-85827-32-8

Roy, S. J., Negrão, S., & Tester, M. (2014). Salt resistant crop plants. *Current opinion in Biotechnology*, 26, 115-124.

Sarker, U.; Oba, S. (2019). Salinity stress enhances color parameters, bioactive leaf pigments, vitamins, polyphenols, flavonoids and antioxidant activity in selected Amaranthus leafy vegetables. *Journal of the Science of Food and Agriculture*, 99.5: 2275-2284.

Shannon, M. C., & Grieve, C. M. (1998). Tolerance of vegetable crops to salinity. *Scientia horticulturae*, 78(1-4), 5-38.

Skirycz, A., & Inzé, D. (2010). More from less: plant growth under limited water. *Current Opinion in Biotechnology*, 21(2), 197-203.

Stegelmeier, B. L., Edgar, J. A., Colegate, S. M., Gardner, D. R., Schoch, T. K., Coulombe, R. A., & Molyneux, R. J. (1999). Pyrrolizidine alkaloid plants, metabolism and toxicity. *Journal of natural toxins*, 8(1), 95-116.

Suchara, I. (1993): Význam a funkce zeleně v tvorbě a ochraně životního prostředí. Střední zahradnická škola Mělník

Spyropoulos, C. G., & Mavrommatis, M. (1978). Effect of water stress on pigment formation in *Quercus* species. *Journal of Experimental Botany*, 29(2), 473-477.

Šamec, D., Linić, I., & Salopek-Sondi, B. (2021). Salinity stress as an elicitor for phytochemicals and minerals accumulation in selected leafy vegetables of Brassicaceae. *Agronomy*, 11(2), 361.

Taiz, L., Zeiger, E., Møller, I. M., & Murphy, A. (2015). *Plant physiology and development* (No. Ed. 6). Sinauer Associates Incorporated.

Urlić, B., Dumičić, G., Romić, M., & Ban, S. G. (2017). The effect of N and NaCl on growth, yield, and nitrate content of salad rocket (*Eruca sativa* Mill.). *Journal of Plant Nutrition*, 40(18), 2611-2618.

Ward, J. C. (1990). Environmental indicators for State of the Environment Reporting. *Information Paper-Centre for Resource Management*, (21).

Xu, B., Li, F., Shan, L., Ma, Y., Ichizen, N., & Huang, J. (2006). Gas exchange, biomass partition, and water relationships of three grass seedlings under water stress. *Weed biology and management*, 6(2), 79-88.

Yousif, B. S., Nguyen, N. T., Fukuda, Y., Hakata, H., Okamoto, Y., Masaoka, Y., & Saneoka, H. (2010). Effect of salinity on growth, mineral composition, photosynthesis and water relations of two vegetable crops; New Zealand spinach (*Tetragonia tetragonoides*) and water spinach (*Ipomoea aquatica*). *International Journal of Agriculture and Biology*, 12(2), 211-216.

Xu, C., & Mou, B. (2015). Evaluation of lettuce genotypes for salinity tolerance. *HortScience*, 50(10), 1441-1446.

Zhu, J. K. (2001). Plant salt tolerance. *Trends in plant science*, 6(2), 66-71.

ARS Home: USDA ARS [online]. Copyright ©W [cit. 19.01.2022]. Dostupné z: [https://www.ars.usda.gov/arsuserfiles/20360500/pdf\\_pubs/P1567.pdf](https://www.ars.usda.gov/arsuserfiles/20360500/pdf_pubs/P1567.pdf)

Biotický faktor | BioLib.cz [online]. [cit. 2021-12-02]. Dostupné z: <https://www.biolib.cz/cz/glossaryterm/id4189/>

KODÍČEK, M. auxiny. [online]. Dostupné z: Biochemické pojmy: výkladový slovník Praha: VŠCHT Praha, 2007 [cit. 2022-03-30].

Dostupné z www: <[http://vydavatelstvi.vscht.cz/knihy/uid\\_es-002/ebook.html?p=auxiny](http://vydavatelstvi.vscht.cz/knihy/uid_es-002/ebook.html?p=auxiny)>

Kozlíček polníček – VERTE DE CAMBRAI - 2 g | Dobrasemena.cz. Semena zeleniny, rostlin i květin a bylinek | Prodej semen online [online]. Copyright © 2012 [cit. 01.04.2022]. Dostupné z:

[https://dobrasemena.cz/VERTE-DE-CAMBRAI-2-g-Kozlicek-polnicky\\_711311.htm](https://dobrasemena.cz/VERTE-DE-CAMBRAI-2-g-Kozlicek-polnicky_711311.htm)

KYSELINA LISTOVÁ | P-LAB = Potřeby pro laboratoř, Chemikálie, Life Science, Nábytek. P-LAB = Potřeby pro laboratoř, Chemikálie, Life Science, Nábytek [online]. Copyright © 2022 P [cit. 03.02.2022]. Dostupné z: <https://www.p-lab.cz/kyselina-listova>

KYSELINA L-(+)-ASKORBOVÁ | P-LAB = Potřeby pro laboratoř, Chemikálie, Life Science, Nábytek. P-LAB = Potřeby pro laboratoř, Chemikálie, Life Science, Nábytek [online]. Copyright © 2022 P [cit. 03.03.2022]. Dostupné z: <https://www.p-lab.cz/kyselina-l-askorbova>

Mapping the impact of soil salinity – I Is God. Home – I Is God [online]. Copyright © Copyright [cit. 03.04.2022]. Dostupné z: <https://iisgod.com/mapping-the-impact-of-soil-salinity/>

Pěstujeme listovou zeleninu | Flóra na zahradě. Flóra na zahradě | Webová verze časopisu Flóra na zahradě [online]. Copyright © Časopisy pro volný čas s.r.o., Domažlická 1256 [cit. 11.04.2022]. Dostupné z: <https://www.floranazahrade.cz/pestujeme-listovou-zeleninu/>

Plant physiology: Mohr, Hans, 1930- : Free Download, Borrow, and Streaming : Internet Archive. Internet Archive: Digital Library of Free & Borrowable Books, Movies, Music & Wayback Machine [online]. Dostupné z: <https://archive.org/details/plantphysiology0000mohr>

Salát hlávkový Král Máje 1 | SEMO eshop. SEMO | Šlechtění, produkce a prodej, osiva a semena, zelenina, květiny, bylinky [online]. Copyright © 1993 [cit. 01.04.2022]. Dostupné z: <https://www.semo.cz/eshop/salat-hlavkovy-kral-maje-1-3805/>

ScienceDirect. ScienceDirect [online]. Copyright © [cit. 2022 03.02.]. Dostupné z: <https://www.sciencedirect.com/science/article/pii/S0048969716318794>

Stanovení rozpustných solí na základě elektrické vodivosti [online]. Dostupné z: [https://web2.mendelu.cz/af\\_221\\_multitext/laborator/index.php?N=1&I=3&J=7&K=2](https://web2.mendelu.cz/af_221_multitext/laborator/index.php?N=1&I=3&J=7&K=2)

Špenát novozélandský – čtyřboč - Tetragonia tetragonoides - pěstování. semena, osivo, cibuloviny – užitkové i okrasné [online]. Copyright © všechna práva vyhrazena [cit. 01.04.2022]. Dostupné z: <https://www.semena.cz/spenat/206-spenat-novozelandsky-ctyrboc-tetragonia-tetragonoides-semena-35-ks.html>

Zasolování půdy (Půda, eAGRI). [online]. Copyright © 2009 [cit. 2022 02.03.]. Dostupné z: <https://eagri.cz/public/web/mze/puda/ochrana-pudy-a-krajiny/degradace-pud/zasolovani-pudy/>

&beta;-KAROTEN | P-LAB = Potřeby pro laboratoř, Chemikálie, Life Science, Nábytek. P-LAB = Potřeby pro laboratoř, Chemikálie, Life Science, Nábytek [online]. Copyright © 2022 P [cit. 03.02.2022]. Dostupné z: <https://www.p-lab.cz/beta-karoten>



